
Computergraphik II

Prof. Dr. Andreas Kolb

Fachgruppe Computergraphik und Multimediasysteme

Universität Siegen – Fachbereich 12

Version: 10. November 2004

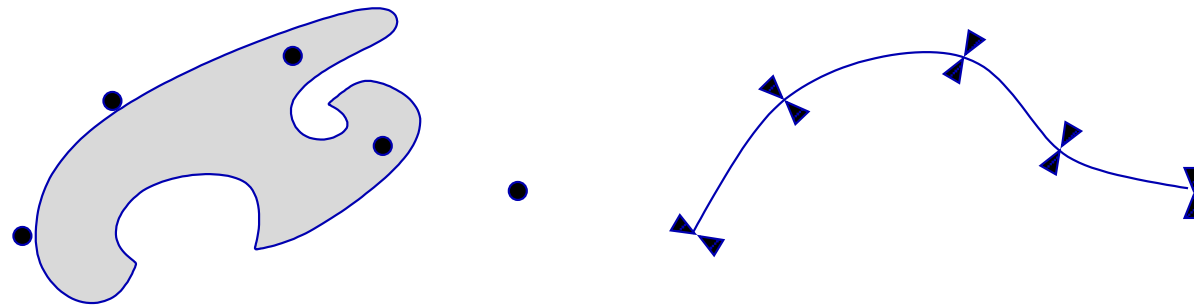
3 Freiformkurven und -flächen



Bemerkung: Historie

Ursprung der Geometrischen Modellierung: Industrielle Fertigung i.w. Automobilbau

< 1960: Verschiedene zeichentechnische Methoden wie z.B. Kurvenlineal und Stahllineal.



- Ungenauigkeit bei Übertragung auf reale Formen für Guß, Stanzen etc.
- Flächen nur über Kurvenscharen handhabbar

nach 1960: Übertragung zeichentechnischer Ansätze auf Computer (NC-Steuerung)

- Modellierung gekrümmte Objekte (Kurven aber auch Flächen)
- intuitiven Kontrollparametern mit hoher Flexibilität
- effizient auf Rechnern handhabbar (—→ **Polynome!**)



3.1 Bézier-Kurven



Beispiel: Erzeugung von parametrischen Parabel-Kurven

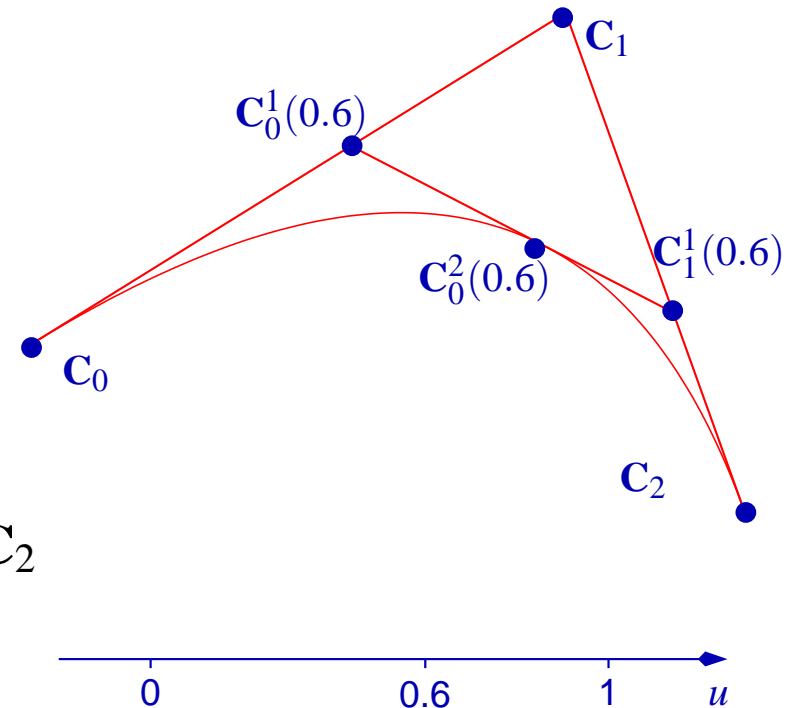
Gegeben: Drei Punkte eine Parabel: $\mathbf{C}_0, \mathbf{C}_1, \mathbf{C}_2 \in \mathbb{R}^2$

Konstruktion: Sei $u \in [0, 1]$, dann bilde

$$\mathbf{C}_0^1(u) = (1 - u)\mathbf{C}_0 + u\mathbf{C}_1$$

$$\mathbf{C}_1^1(u) = (1 - u)\mathbf{C}_1 + u\mathbf{C}_2$$

$$\begin{aligned} \mathbf{C}(u) = \mathbf{C}_0^2(u) &= (1 - u)\mathbf{C}_0^1 + u\mathbf{C}_1^1 \\ &= (1 - u)^2\mathbf{C}_0 + 2(1 - u)u\mathbf{C}_1 + u^2\mathbf{C}_2 \end{aligned}$$



Diese Konstruktion hat folgende Eigenschaften:

1. $\mathbf{C}(u)$ ist **affine Kombination** der \mathbf{C}_i , da $(1 - u)^2 + 2(1 - u)u + u^2 = (1 - u + u)^2 = 1$
2. **Endpunktinterpolation:** $\mathbf{C}_0^2(0) = \mathbf{C}_0, \mathbf{C}_0^2(1) = \mathbf{C}_2$
3. $\{\mathbf{C}(u) : u \in [0, 1]\} \subset \Delta(\mathbf{C}_0, \mathbf{C}_1, \mathbf{C}_2)$, also Kurve verläuft in **konvexer Hülle** der Kontrollpunkte, da Gewichte ≥ 0

3.1 Bézier-Kurven



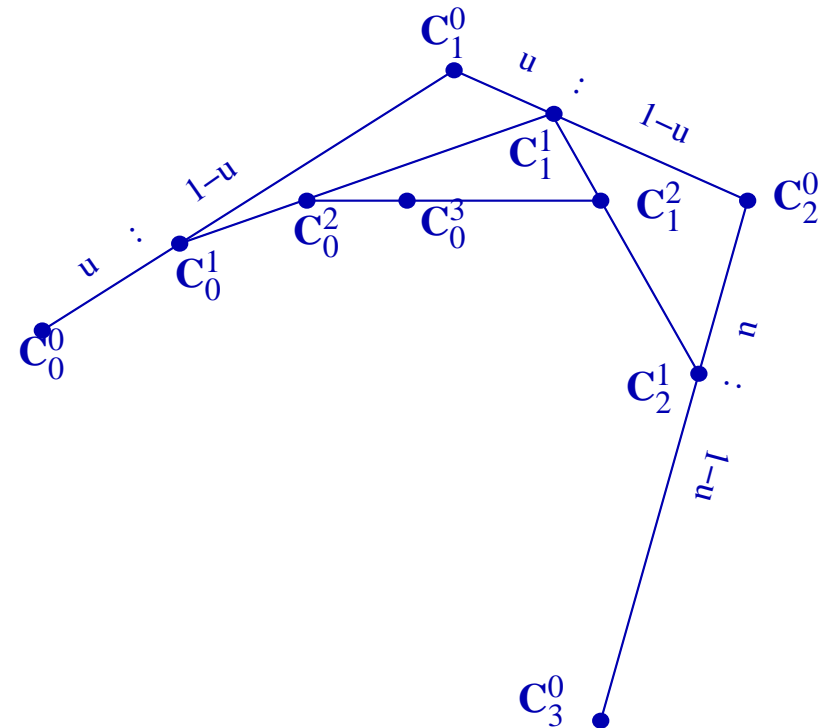
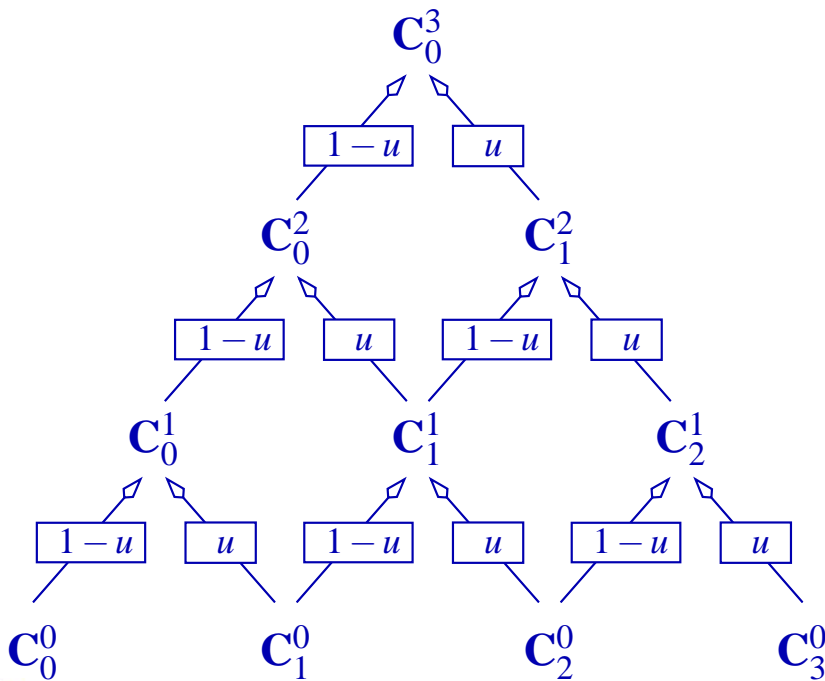
Algorithmus: de Casteljau

Gegeben: Kontrollpunkte $C_i, i = 0, \dots, n$ für ein $n \in \mathbb{N}$, sowie der Parameter $u \in [0, 1]$

Initialisierung: $C_i^0 = C_i, i = 0, \dots, n$

Rekursion: Affin-Kombinationen benachbarter Kontrollpunkte:

$$C_i^{k+1} = (1-u)C_i^k + uC_{i+1}^k, i = 0, \dots, n-k-1, k = 0, \dots, n-1, C(u) = C_0^n$$



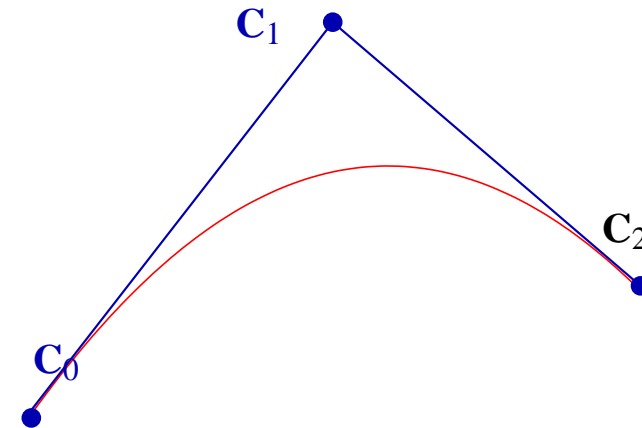
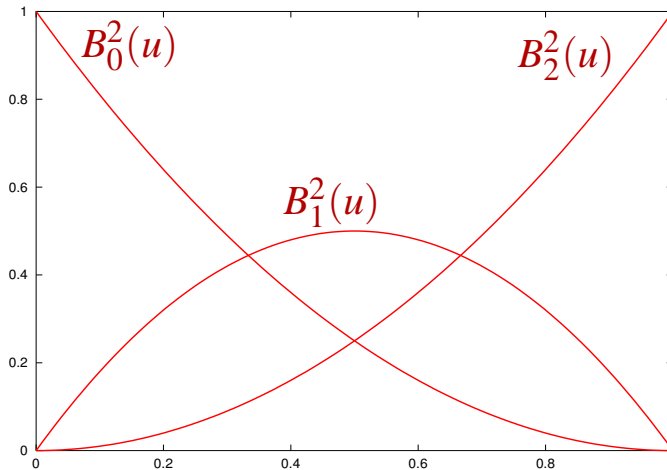
3.1 Bézier-Kurven



Bezeichnung: Bézier-Kurven ($n = 2$)

$$\text{Parabel: } C(u) = \underbrace{(1-u)^2}_{=B_0^2(u)} C_0 + \underbrace{2(1-u)u}_{=B_1^2(u)} C_1 + \underbrace{u^2}_{=B_2^2(u)} C_2$$

Bernstein-Bézier-Polynome: Gewichte $B_i^2(u)$ der Affin-Kombination der C_i



Beachte: $B_i^2(u)$ entsprechen variablen Gewichten einer Affin-Kombination

3.1 Bézier-Kurven



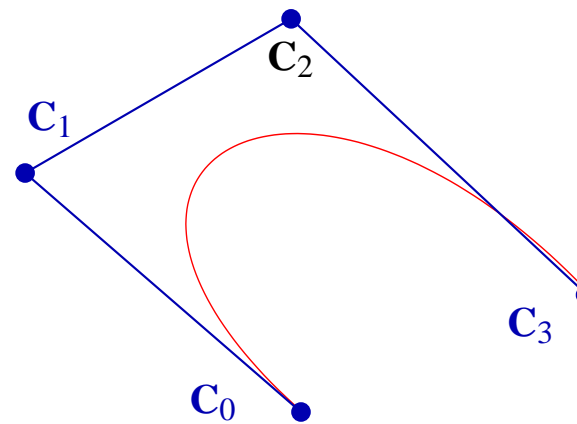
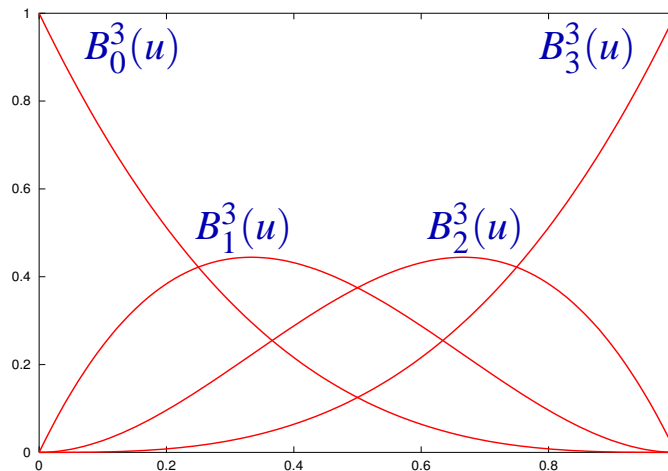
Bezeichnung: Bézier-Kurven (allgemeiner Fall)

Bernstein-Bézier-Polynome: Für beliebiges $n \in \mathbb{N}$ wird definiert:

$$C(u) = \sum_{i=0}^n C_i B_i^n(u), \text{ mit } B_i^n(u) = \binom{n}{i} u^i (1-u)^{n-i} \text{ und } \binom{n}{i} = \frac{n!}{i!(n-i)!}$$

Bézier-Kurve: Für Kontrollpunkte C_0, \dots, C_n ist: $C(u) = \sum_{i=0}^n B_i^n(u) C_i$

Kubischer Fall $n = 3$: Häufig kommen Bézier-Kurven vom Grad 3 zum Einsatz:



3.1 Bézier-Kurven



Eigenschaften der Bernstein-Bézier-Polynome

Polynom-Basis: Polynome $\mathbf{P} \in \mathcal{P}^n$ vom Grad n können als Bézier-Kurve dargestellt werden:

$$\forall \mathbf{P}(u) = \sum_{i=0}^n \mathbf{A}_i u^i : \exists_1 \mathbf{C}_i, i = 0, \dots, n : \mathbf{P}(u) = \sum_{i=0}^n \mathbf{C}_i B_i^n(u)$$

Positivität: Für $u \in [0, 1]$ gilt stets: $B_i^n(u) \geq 0$

Endpunktverhalten: $B_i^n(0) = \begin{cases} 1 & \text{falls } i = 0 \\ 0 & \text{sonst} \end{cases} \quad B_i^n(1) = \begin{cases} 1 & \text{falls } i = n \\ 0 & \text{sonst} \end{cases}$

Zerlegung der 1: $1 = [u + (1 - u)]^n = \sum_{i=0}^n \binom{n}{i} u^i (1 - u)^{n-i} = \sum_{i=0}^n B_i^n(u)$

Ableitung:

$$(B_i^n)'(u) = \begin{cases} -nB_0^{n-1}(u) & \text{falls } i = 0 \\ nB_{n-1}^{n-1}(u) & \text{falls } i = n \\ n \left(B_{i-1}^{n-1}(u) - B_i^{n-1}(u) \right) & \text{falls } 0 < i < n \end{cases}$$



3.1 Bézier-Kurven



Eigenschaften der Bézier-Kurven

Endpunktinterpolation: $\mathbf{C}(0) = \mathbf{C}_0$, $\mathbf{C}(1) = \mathbf{C}_n$, da $B_0^n(0) = B_n^n(1) = 1$, sonst $B_i^n(0) = B_i^n(1) = 0$

Globaler Einfluß der \mathbf{C}_i : \mathbf{C}_i beeinflusst $\mathbf{C}(u)$, $u \in]0, 1[$, da hier $B_i^n(u) \neq 0$, $\forall i$

Affine Invarianz: Die Kurve \mathbf{C} ist affin invariant bzgl. seiner Kontrollpunkte:

$$T \text{ affine Abbildung} \implies T(\mathbf{C}(u)) = \sum_{i=0}^n T(\mathbf{C}_i) B_i^n(u) \quad \text{da} \quad \sum B_i^n \equiv 1$$

Konvexe Hülle: Aufgrund der Positivität der B_i^n und der affinen Invarianz verläuft $\mathbf{C}(u)$, $u \in [0, 1]$ innerhalb der konvexen Hülle der Kontrollpunkte

Variation Diminishing Property (ohne Beweis): Die Bézier-Kurve hat max. so viele Wendepunkte wie ihr Kontrollpolygon:

$$\forall \text{ Gerade } g \text{ gilt: } \#\{g \cap \text{Kontrollpolygon}\} \geq \#\{g \cap \text{Kurve}\}$$



Eigenschaften der Bézier-Kurven (Forts.)

Ableitung: Bézier-Darstellung der ersten Ableitung:

$$\begin{aligned} \mathbf{C}'(u) &= n \left(-\mathbf{C}_0 B_0^{n-1}(u) + \mathbf{C}_n B_{n-1}^{n-1}(u) + \sum_{i=1}^{n-1} \mathbf{C}_i \left[B_{i-1}^{n-1}(u) - B_i^{n-1}(u) \right] \right) \\ &= n \sum_{i=0}^{n-1} (\mathbf{C}_{i+1} - \mathbf{C}_i) B_i^{n-1}(u) \end{aligned}$$

End-Tangenten (Spezialfall): Für $u \in \{0, 1\}$ gilt:

$$\mathbf{C}'(0) = n(\mathbf{C}_1 - \mathbf{C}_0) \quad \mathbf{C}'(1) = n(\mathbf{C}_n - \mathbf{C}_{n-1})$$

Bezug zu de Casteljau: Die letzte Kante des de Casteljau-Schemas entspricht der Tangentenrichtung der Kurve:

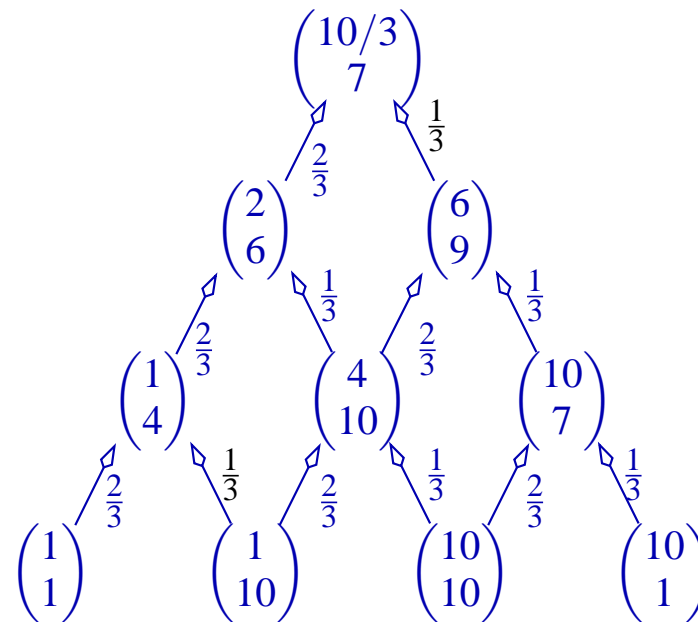
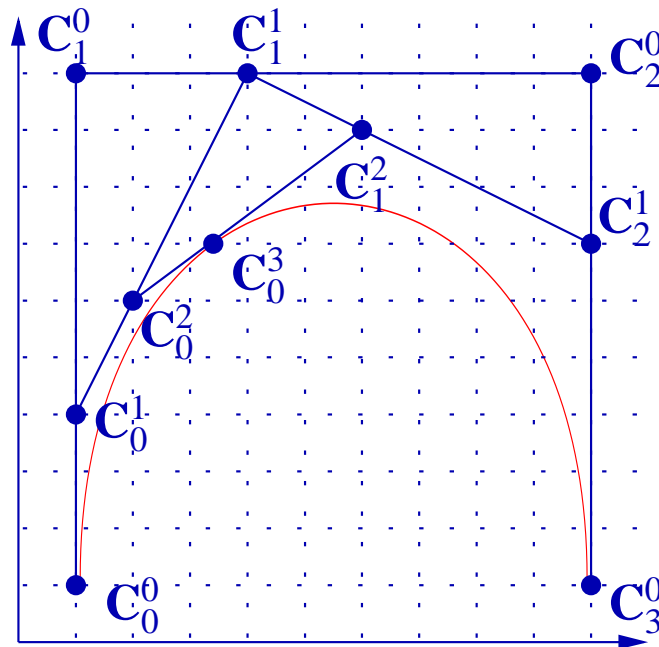
$$\mathbf{C}'(u) = n \left(\mathbf{C}_1^{n-1} - \mathbf{C}_0^{n-1} \right)$$

3.1 Bézier-Kurven



Beispiel:

Gegeben: Punkte $\mathbf{C}_0 = \begin{pmatrix} 1 \\ 1 \end{pmatrix}$, $\mathbf{C}_1 = \begin{pmatrix} 1 \\ 10 \end{pmatrix}$, $\mathbf{C}_2 = \begin{pmatrix} 10 \\ 10 \end{pmatrix}$, $\mathbf{C}_3 = \begin{pmatrix} 10 \\ 1 \end{pmatrix}$. Gesucht: $\mathbf{C}(\frac{1}{3})$



Endpunkte: $\mathbf{C}(0) = \mathbf{C}_0 = (1, 1)$, $\mathbf{C}(1) = \mathbf{C}_3 = (10, 1)$

Ableitung:
$$\mathbf{C}'(u) = 3 \sum_{i=0}^2 (\mathbf{C}_{i+1} - \mathbf{C}_i) B_i^2(u) = 3 \left(\begin{pmatrix} 0 \\ 9 \end{pmatrix} B_0^2(u) + \begin{pmatrix} 9 \\ 0 \end{pmatrix} B_1^2(u) + \begin{pmatrix} 0 \\ -9 \end{pmatrix} B_2^2(u) \right)$$



3.1 Bézier-Kurven



Auswertung von Polynomkurven

Bewertung de Casteljau: • sehr stabil (nur Interpolation)

- Komplexität: $O(n^2)$ pro Auswertung, genauer

$$\text{Vektor-Additionen: } \frac{(n+1)n}{2} \quad \text{Skalare Multiplikationen: } (n+1)n$$

Horner-Schema: Ausgehend von der Polynomkurve $\mathbf{F}(u) = \sum_{i=0}^n \mathbf{A}_i u^i \in \mathcal{P}^n$ (\mathcal{P}^n : Raum der Polynome vom Grad $\leq n$)

$$\mathbf{F}(u) = \sum_{i=0}^n \mathbf{A}_i u^i = \mathbf{A}_0 + u(\mathbf{A}_1 + u(\mathbf{A}_2 + u(\mathbf{A}_3 \dots + u(\mathbf{A}_{n-1} + u\mathbf{A}_n)))) \dots$$

- weniger stabil
- Komplexität: $O(n)$, genauer: n skalare Multiplikationen, n Vektor-Additionen



3.1 Bézier-Kurven



Vorwärts-Differenzen

Ziel: Auswertung von $\mathbf{F}(u) = \sum_{i=0}^n \mathbf{A}_i u^i$ an äquidistanten Parametern

$$u_j = u_0 + j \cdot \Delta, \quad j = 0, \dots, k \text{ für ein } k \in \mathbb{N} \text{ und Schrittweite } \Delta > 0$$

Erste Vorwärtsdifferenz: Betrachte Polynom $\delta^1(u) := \mathbf{F}(u + \Delta) - \mathbf{F}(u)$; es gilt:

$$\begin{aligned} \delta^1(u) &= \mathbf{F}(u + \Delta) - \mathbf{F}(u) = \mathbf{A}_n ((u + \Delta)^n - u^n) + \mathbf{G}(u), \quad \mathbf{G} \in \mathcal{P}^{n-1} \\ &= \mathbf{A}_n \left(\left(\sum_{i=0}^n \binom{n}{i} u^i \Delta^{n-i} \right) - u^n \right) + \mathbf{G}(u) \quad \boxed{\implies \delta^1 \in \mathcal{P}^{n-1}} \end{aligned}$$

***i*-te Vorwärtsdifferenz:** Rekursive Differenzbildung

$$\delta^i(u) := \delta^{i-1}(u + \Delta) - \delta^{i-1}(u) \in \mathcal{P}^{n-i} \quad \text{insbesondere: } \delta^n(u) \in \mathcal{P}^0 \text{ konstant}$$

3.1 Bézier-Kurven



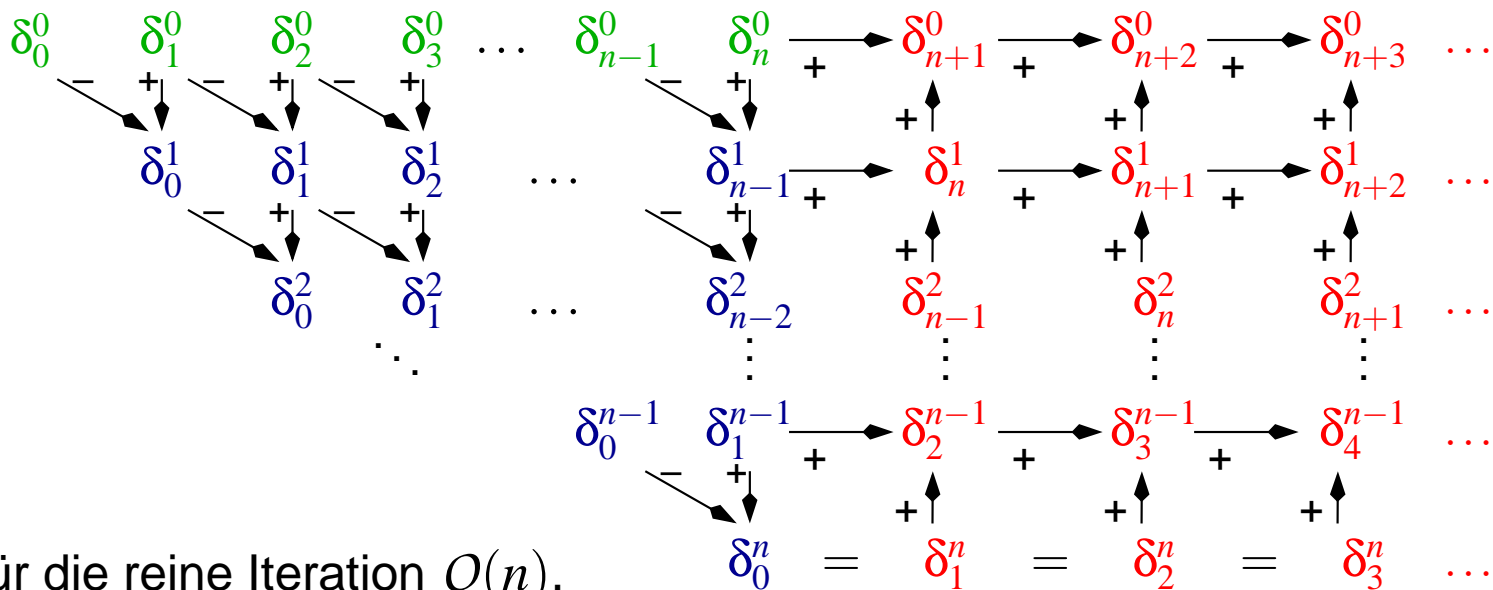
Algorithmus: Vorwärts-Differenzen

Initialisierung: Berechne ausgehend von u_0 und festem $\Delta > 0$:

1. Punkte auf der Kurve: $\delta_j^0 := \mathbf{F}(u_j) = \mathbf{F}(u_0 + j\Delta)$, $j = 0, \dots, n$
2. Differenzen $\delta_j^i := \delta^i(u_j) = \delta^{i-1}(u_{j+1}) - \delta^{i-1}(u_j)$, $i = 1, \dots, n$; $j = 0, \dots, n - i$

Iteration: Sukzessive Berechnung der $(m + 1)$ -ten Spalte ($m \geq n$):

$$\delta_{(m+1)-n}^n = \delta_{m-n}^n = \text{const}, \quad \delta_{(m+1)-r}^r, \quad r = 0, \dots, n - 1$$



Komplexität für die reine Iteration $O(n)$.



3.1 Bézier-Kurven



Beispiel: Beispiel Vorwärts-Differenzen

Gegeben: $f(u) = u^3 - 4u^2 - 2u$, $u_0 = 0, \Delta = 1$

Lösung:

$u:$	0	1	2	3	4	5	6	7	8
$\delta_j^0:$	0	-5	-12	-15	-8	15	60	133	240
$\delta_j^1:$		-5	-7	-3	7	23	45	73	107
$\delta_j^2:$			-2	4	10	16	22	28	34
$\delta_j^3:$				6	6	6	6	6	6



3.1 Bézier-Kurven



Umwandlung Bézier nach Polynome

Erinnerung: Jedes Polynom $\in \mathcal{P}^n$ läßt sich in der Bernstein-Bézier-Basis darstellen:

$$\text{span}\{1, u, u^2, \dots, u^n\} = \text{span}\{B_0^n(u), \dots, B_n^n(u)\}$$

Basis-Transformation: Die Umwandlung der Darstellung erfolgt über eine $(n + 1) \times (n + 1)$ -Matrix.

Beispiel $n = 3$:
$$\mathbf{C}(u) = \sum_{i=0}^3 \mathbf{C}_i B_i^3(u) = \sum_{i=0}^3 \mathbf{A}_i u^i$$

$$\begin{pmatrix} \mathbf{A}_0 \\ \mathbf{A}_1 \\ \mathbf{A}_2 \\ \mathbf{A}_3 \end{pmatrix} = \begin{pmatrix} 1 & 0 & 0 & 0 \\ -3 & 3 & 0 & 0 \\ 3 & -6 & 3 & 0 \\ -1 & 3 & -3 & 1 \end{pmatrix} \begin{pmatrix} \mathbf{C}_0 \\ \mathbf{C}_1 \\ \mathbf{C}_2 \\ \mathbf{C}_3 \end{pmatrix} \quad \text{da}$$
$$\begin{aligned} B_0^3(u) &= (1-u)^3 = -u^3 + 3u^2 - 3u + 1 \\ B_1^3(u) &= 3(1-u)^2u = 3u^3 - 6u^2 + 3u \\ B_2^3(u) &= 3(1-u)u^2 = -3u^3 + 3u^2 \\ B_3^3(u) &= u^3 = u^3 \end{aligned}$$

3.1 Bézier-Kurven



Rationale Bézier-Kurven

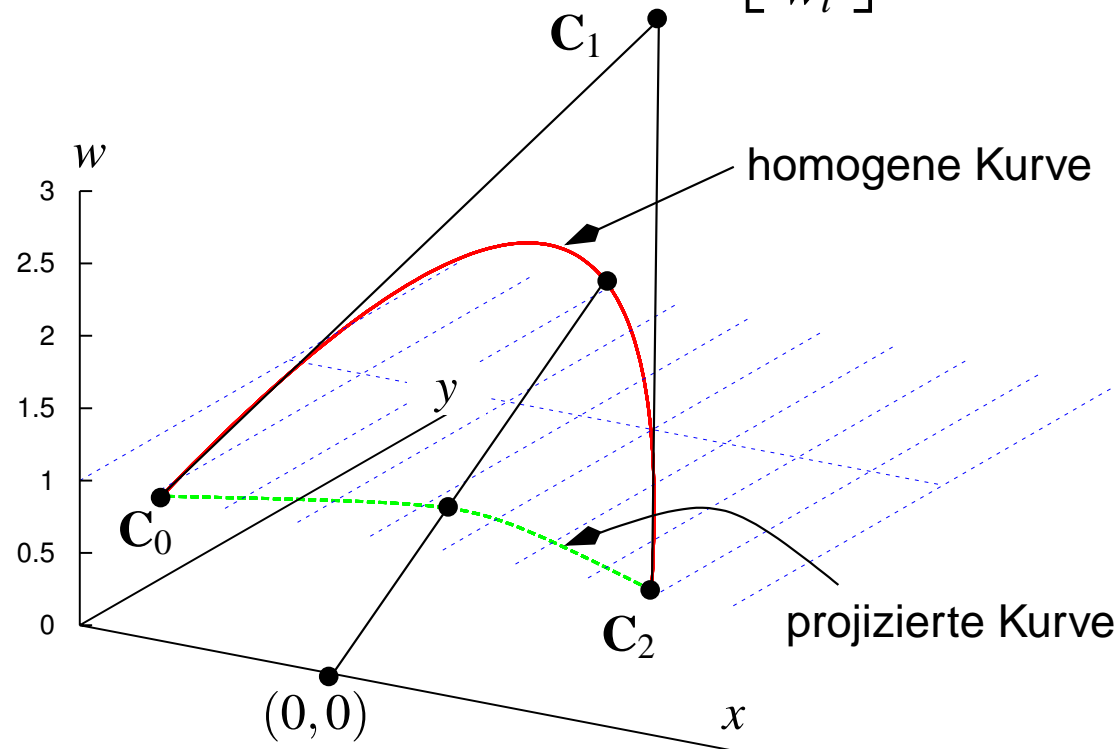
Bislang: Nur Polynomkurven darstellbar

Ziel: Exakte Kreissegmente und Kegelschnitte

Ansatz: Zeichne Kurve in *Homogenen Koordinaten* und projiziere Kurve auf $w = 1$:

$$C_i = \begin{bmatrix} w_i x_i \\ w_i y_i \\ w_i z_i \\ w_i \end{bmatrix}$$

$$C(u) = \frac{\sum_{i=0}^n w_i \begin{pmatrix} x_i \\ y_i \\ z_i \end{pmatrix} B_i^n(u)}{\sum_{i=0}^n w_i B_i^n(u)}$$



3.1 Bézier-Kurven



Einfluß der Gewichte

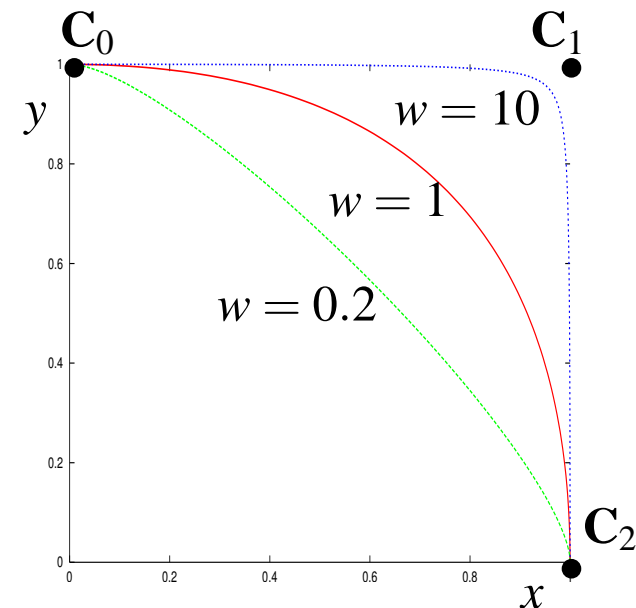
Allgemein: Je größer w_i (bei konstanten $w_j, j \neq i$), desto näher verläuft $C(u)$ bei C_i

Spezialfall Kegelschnitte für $n = 2$ und $w_0 = w_2 = 1$ ergibt sich durch Variation von w_1 :

$$C \text{ ist Segment einer } \left\{ \begin{array}{l} \text{Ellipse} \\ \text{Parabel} \\ \text{Hyperbel} \end{array} \right\} \iff \left\{ \begin{array}{l} w_1 < 1 \\ w_1 = 1 \\ w_1 > 1 \end{array} \right.$$

Spezialfall Kreissegment für $n = 2$:

$$w_0 = w_2 = 1 \text{ und } w_1 = 1/\sqrt{2}$$

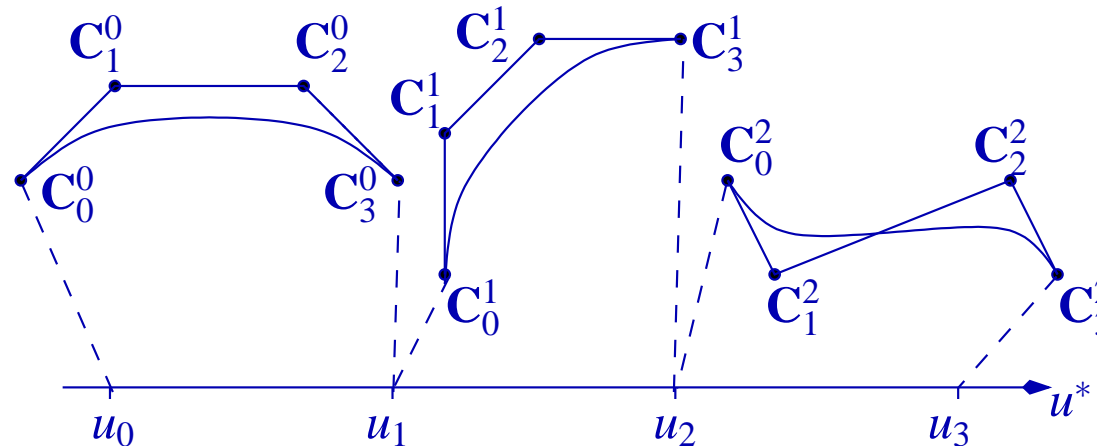


3.1 Bézier-Kurven



Allgemeines Parameter-Intervall

Ziel: Verwendung beliebiger Parameter-Intervalle $[a, b]$ statt $[0, 1]$, z.B. für stückweise Kurven



Umparametrisierung: Lineare Transformation $\phi : I = [a, b] \rightarrow [0, 1]$ ändert Polynomgrad nicht:

$$\phi(u) := \frac{u - a}{b - a} \in [0, 1], \forall u \in I \text{ und}$$

$$B_i^{I,n}(u) := B_i^n(\phi(u)) = \binom{n}{i} \left(\frac{u - a}{b - a}\right)^i \left(\frac{b - u}{b - a}\right)^{n-i}$$

Beachte: Die Geometrie der Kurve bleibt unverändert!

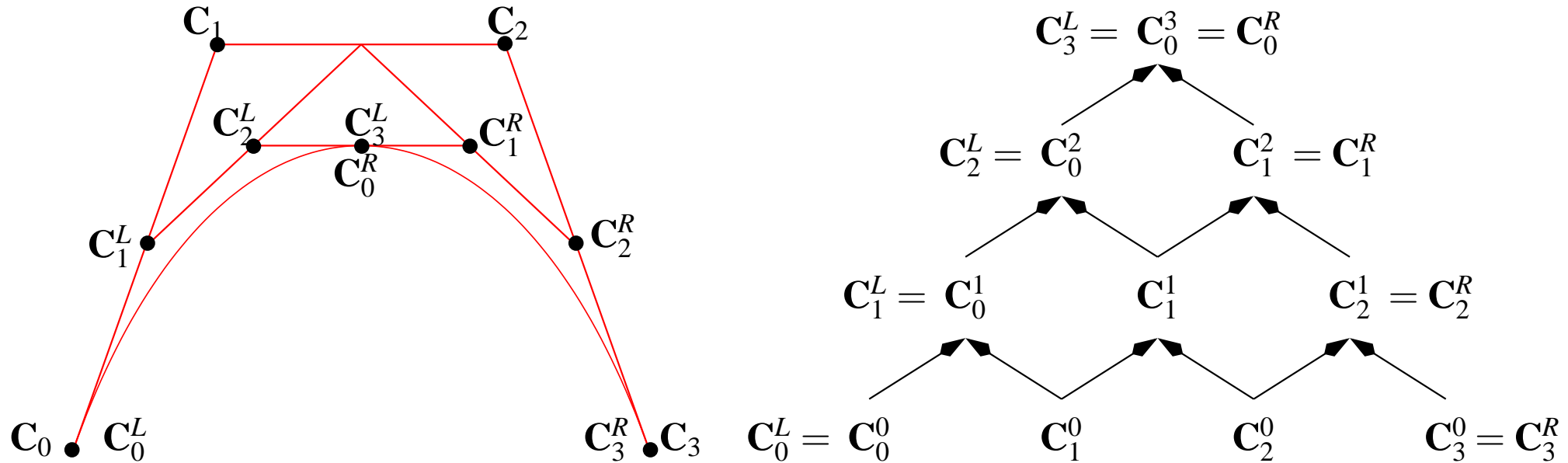


3.1 Bézier-Kurven



Unterteilung der Bézier-Kurve $C(u)$

Auswertung von C bei $a \in [0, 1]$ liefert Bézier-Darstellung der Teilkurven auf $[0, a]$ bzw. $[a, 1]$:



Beachte: Neue Bézier-Kurven beschreiben nur einen Teil der ursprünglichen Geometrie



Schnitt zwischen Bézier-Kurven

Konvexe-Hülle der Kontrollpunkte disjunkt \Rightarrow Bézier-Kurven schneiden sich nicht
 \Rightarrow Rekursive Unterteilung der Bézier-Kurven liefert Schnittpunkte

Algorithmus: Zum Schnitt von Bézier-Kurven vom Grad n

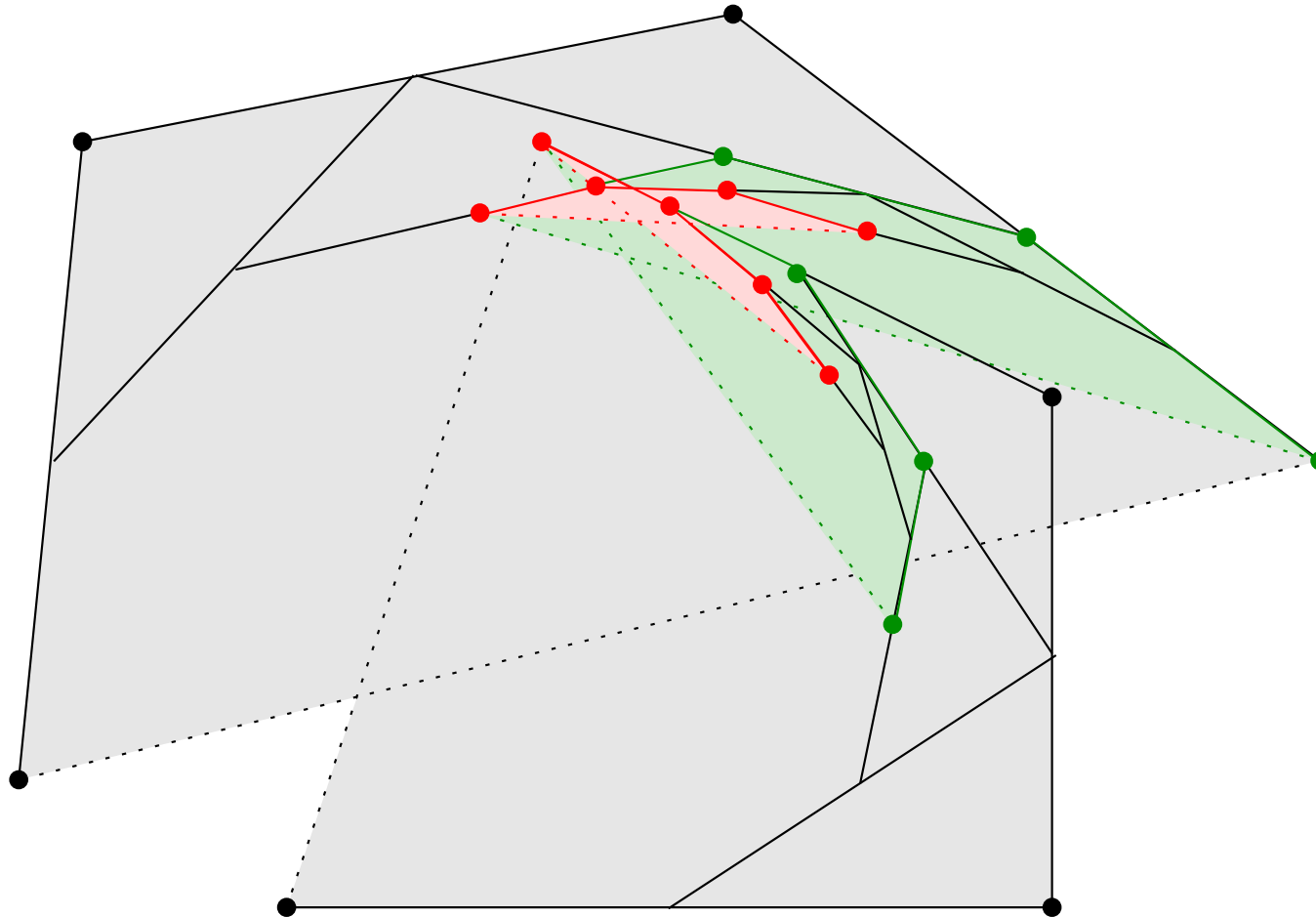
```
void intersectCurve(Point cpA[], cpB[], vector intersectPts) {
    Point cpALeft[n+1], cpARight[n+1], cpBLeft[n+1], cpBRight[n+1];
    if ( ! intersectConvexHull(cpA, cpB) ) return;
    if ( sizeofBBBox(cpA) > epsilon ) {
        subdivideCurve(cpA, cpALeft, cpARight);
        intersectCurve(cpALeft, cpB, intersectPts);
        intersectCurve(cpARight, cpB, intersectPts);
    }
    else if ( sizeofBBBox(cpB) > epsilon ) {
        subdivideCurve(cpB, cpBLeft, cpBRight);
        intersectCurve(cpA, cpBLeft, intersectPts);
        intersectCurve(cpA, cpBRight, intersectPts);
    }
    else { // both boxes smaller than epsilon
        intersectPts.append(computeCenter(cpA));
    }
    return;
}
```



3.1 Bézier-Kurven



Beispiel: Schnitt zwischen Bézier-Kurven



● Original Kontrollpunkt

● Kontrollpunkt 1.Subd.

● Kontrollpunkt 2.Subd.





Bewertung Bézier-Kurven

Wesentliche Vorteile:

- Intuitive Kontrolle des Kurvenverlaufes
- stabile Berechnung (de Casteljau); alternativ schnelle, äquidistante Auswertung (Vorw.-Diff.)
- affine Invarianz und konvexe Hülle
- Darstellung aller Polynome und Kegelschnitte

Wesentliche Nachteile:

- Globaler Einfluß der Kontrollpunkte
- Polynomkurven (integrale Bézier-Kurven) oder Kegelschnitte (rationale Bézier-Kurven)



Anzahl Freiheitsgrade = Anzahl Kontrollpunkte = Polynomgrad + 1
⇒ mehr Freiheitsgrade durch höheren Polynomgrad, aber mehr Rechenaufwand!

3.2 Hermite-Kurven



Bézier-Kurven interpolieren C_0, C_n und approximieren $C_i, i \notin \{0, n\}$

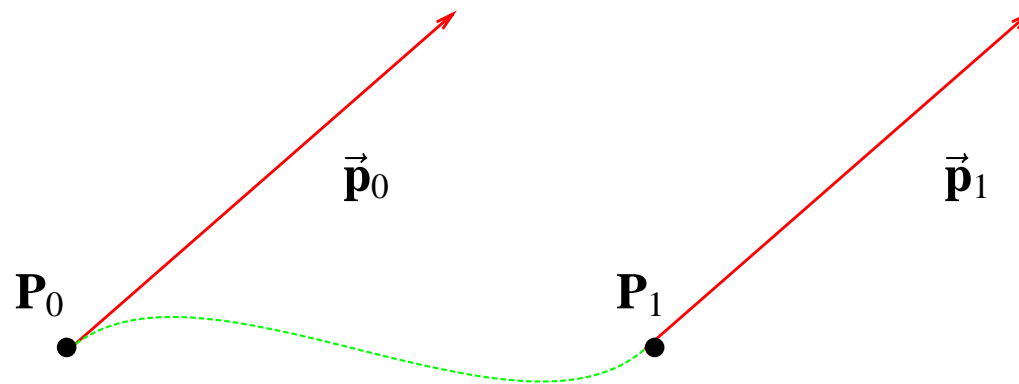
Hermite-Kurven interpolieren Position und Ableitungen in den Endpunkten

Zahl der Kontrollparameter legt den Grad der Kurve fest:

- 1. Ableitung \rightarrow 4 Parameter \rightarrow kubische Polynome
- 1. und 2. Ableitung \rightarrow 6 Parameter \rightarrow quintische Polynome etc.

Kubische Hermite-Kurve $\mathbf{H}(u)$ interpolieren $\mathbf{P}_0, \mathbf{P}_1, \vec{\mathbf{p}}_0, \vec{\mathbf{p}}_1$:

$$\mathbf{H}(0) = \mathbf{P}_0, \quad \mathbf{H}(1) = \mathbf{P}_1, \quad \mathbf{H}'(0) = \vec{\mathbf{p}}_0, \quad \mathbf{H}'(1) = \vec{\mathbf{p}}_1$$



3.2 Hermite-Kurven



Kubische Hermite-Basisfunktionen

Kubische Hermite-Kurven definiert sich zu

$$\mathbf{H}(u) = \mathbf{P}_0 h_0(u) + \vec{\mathbf{p}}_0 h_1(u) + \vec{\mathbf{p}}_1 h_2(u) + \mathbf{P}_1 h_3(u)$$

Kubische Hermite-Basisfunktionen:

$$h_0(u) = 2u^3 - 3u^2 + 1$$

$$\text{mit } h_0(0) = 1, h_0(1) = 0, h'_0(0) = 0, h'_0(1) = 0$$

$$h_1(u) = u^3 - 2u^2 + u$$

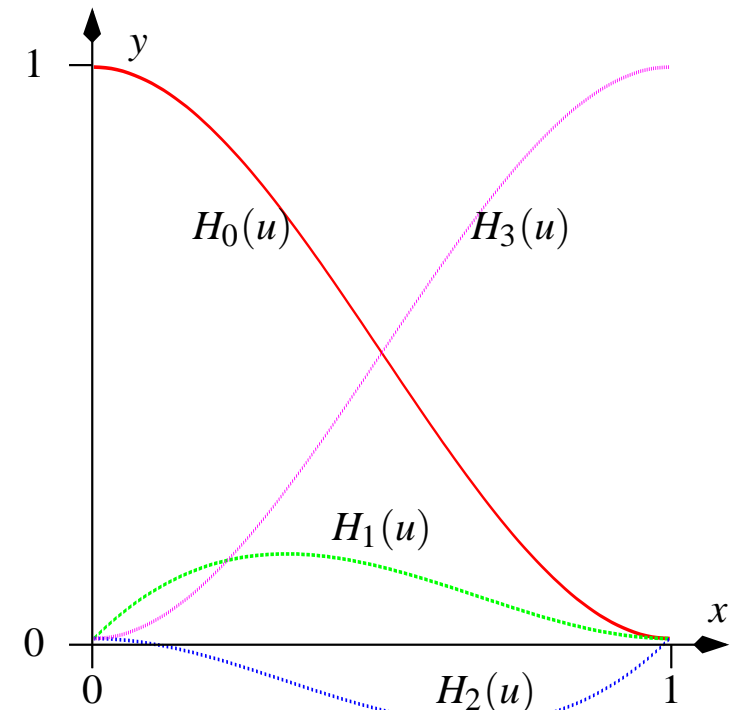
$$\text{mit } h_1(0) = 0, h_1(1) = 0, h'_1(0) = 1, h'_1(1) = 0$$

$$h_2(u) = u^3 - u^2$$

$$\text{mit } h_2(0) = 0, h_2(1) = 0, h'_2(0) = 0, h'_2(1) = 1$$

$$h_3(u) = -2u^3 + 3u^2$$

$$\text{mit } h_3(0) = 0, h_3(1) = 1, h'_3(0) = 0, h'_3(1) = 0$$



3.3 Bézier-Splines



Bezeichnung: Bézier-Splinekurve

Bézier-Splinekurve: Mehr Freiheitsgrade durch *Aneinanderreihung einzelner Bézier-Kurven*

Konkret: Bézier-Splinekurve vom Grad n mit $k + 1$ Segmenten $\mathbf{C}^j(u)$, $j = 0, \dots, k$

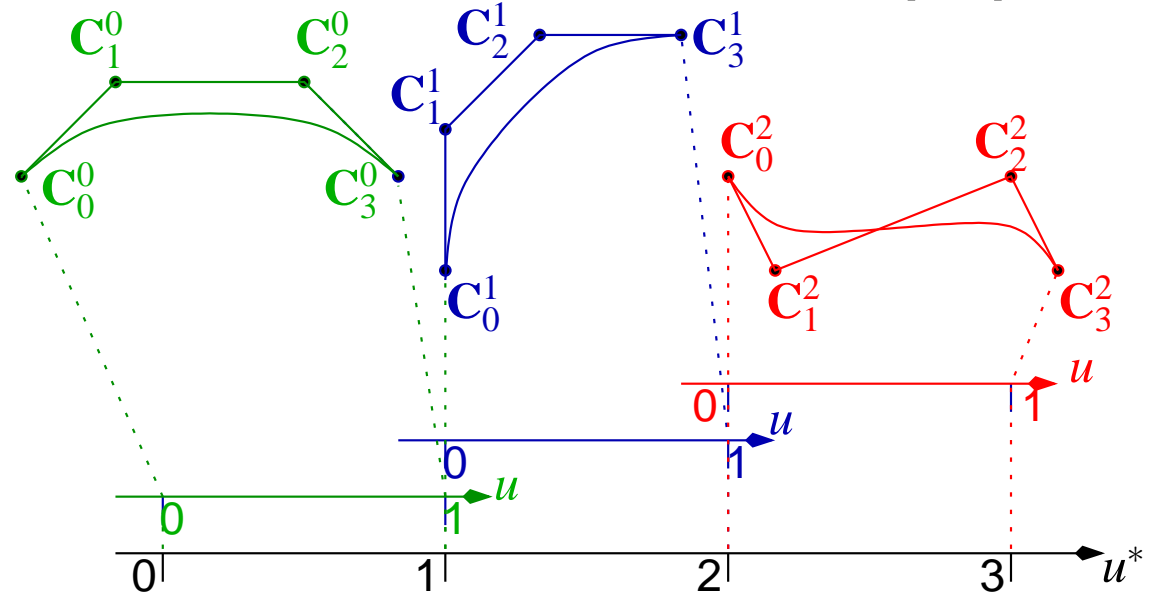
Lokaler Parameter: Jedes Segment \mathbf{C}^j hat als Bézier-Kurve den Parameter $u \in [0, 1]$

Globaler Parameter: Parameter

$u^* \in [0, k + 1]$ der gesamten Splinekurve \mathbf{C} mit

$$u^* \in [j, j + 1[$$

$$\implies \mathbf{C}(u^*) = \mathbf{C}^j(u) \text{ mit } u = u^* - j$$



Frage: Welche Bedingungen müssen gelten, damit \mathbf{C} eine stetige und/oder glatte Kurve ist?

3.3 Bézier-Splines



Anschlußbedingungen

Gegeben: Kurve C^0 mit Kontrollpunkten C_0^0, \dots, C_n^0

Gesucht: Kontrollpunkte C_i^1 von C^1 , so dass C^1 stetig/glatt an C^0 in $C^0(1)$ anschließt.

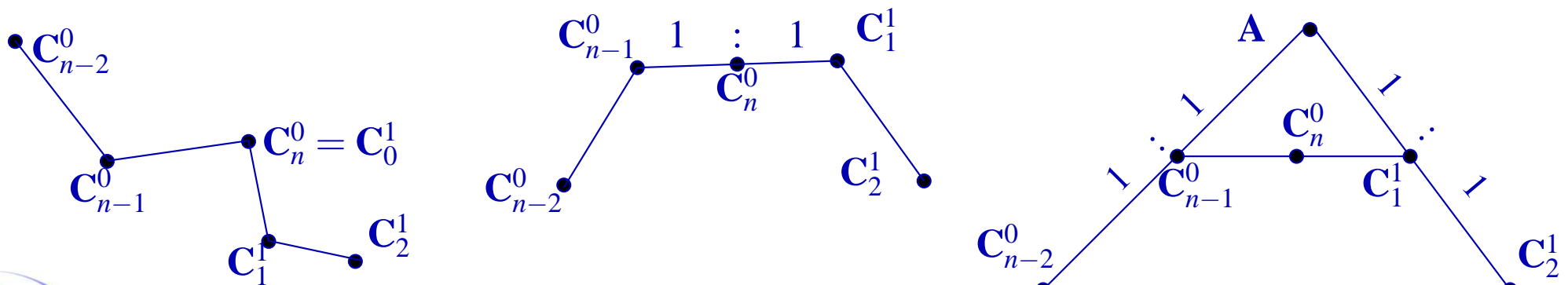
C^0 -stetig: Es muß $C^0(1) = C^1(0)$ gelten, also $C_n^0 = C_0^1$ (Endpunktinterpolation)

C^1 -stetig: C^0 -stetig und $(C^0)'(1) = (C^1)'(0)$ (Interpolation der Endtangenten)

$$(C^0)'(1) = n(C_n^0 - C_{n-1}^0) \stackrel{!}{=} n(C_1^1 - C_0^1) = (C^1)'(0) \stackrel{C^0\text{-stetig}}{\iff} C_1^1 = C_0^1 + \underbrace{(C_n^0 - C_{n-1}^0)}_{=C_0^1}$$

C^2 -stetig: C^1 -stetig und $(C^0)''(1) = (C^1)''(0)$ (Krümmungstetig)

A-Frame-Konstruktion: $C_2^1 = C_1^1 + \underbrace{(C_1^1 - (C_{n-1}^0 + (C_{n-1}^0 - C_{n-2}^0)))}_{=A}$



3.3.1 Catmull-Rom-Ansatz



Ansatz: Verwendung von *kubische* C^1 -stetigen Bézier-Splines (vgl. Hermite-Kurven!)

Kontrollgrößen: Interpoliert werden

1. Kontrollpunkten \mathbf{C}_0^j , $j = 0, \dots, k$ und \mathbf{C}_3^k
2. Tangenten $\vec{\mathbf{t}}_j = (\mathbf{C}^j)'(0)$, $j = 0, \dots, k$ und $\vec{\mathbf{t}}_{k+1} = (\mathbf{C}^k)'(1)$

Problem: Die Vorgabe von zwei Kontrolltypen (Punkte, Tangenten) ist unhandlich.

Catmull-Rom-Splines: Vorgabe der Kontrollpunkte & Abschätzung der Tangenten.

Gegeben: Interpolationspunkte \mathbf{P}_i , $i = 0, \dots, k + 1$

Berechnung der Bézier-Punkte: Für das j -te Bézier-Segment ergibt sich

$$\text{Endpunkte: } \mathbf{C}_0^j = \mathbf{P}_j, \mathbf{C}_3^j = \mathbf{P}_{j+1}, \quad j = 0, \dots, k$$

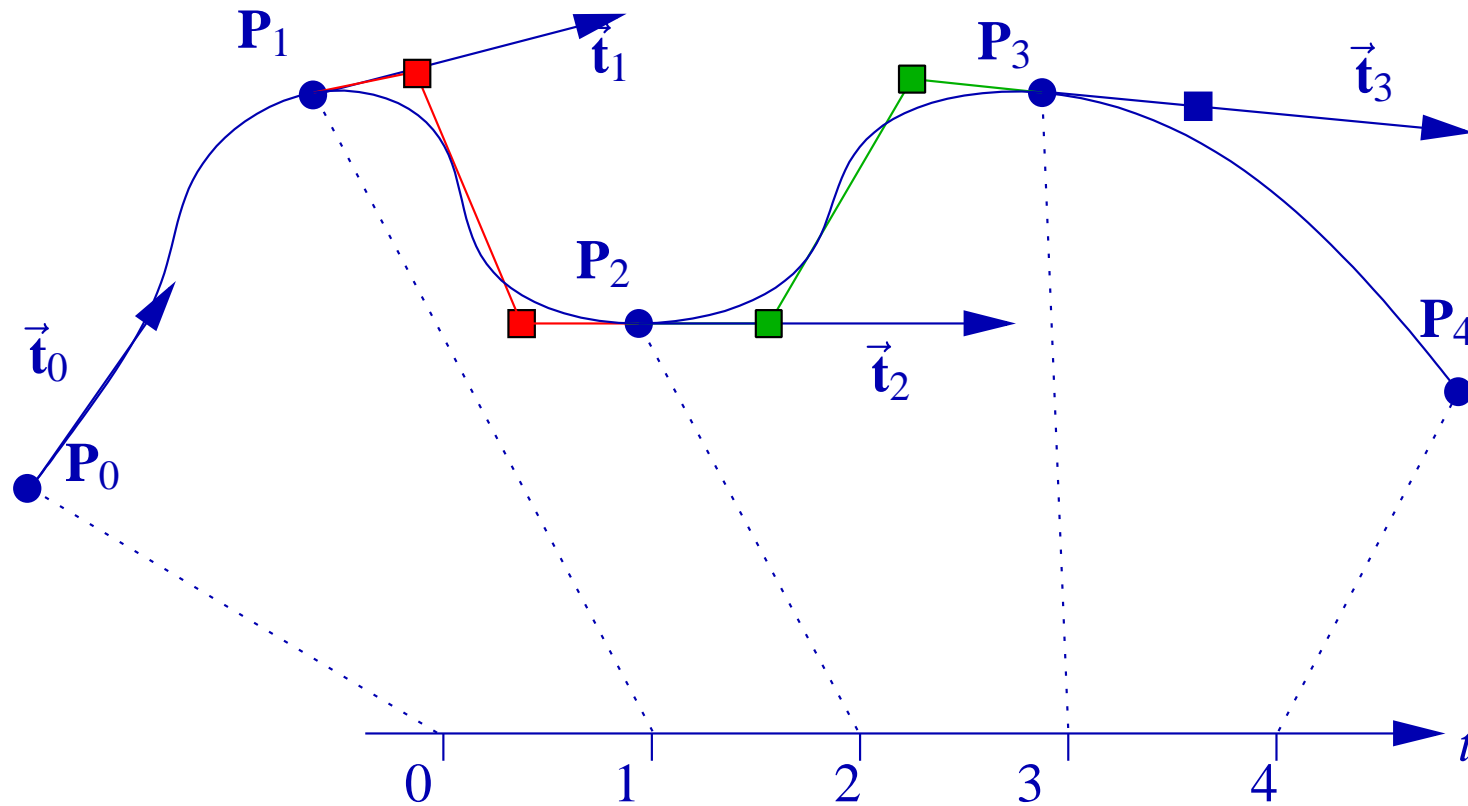
$$\text{Tangente bei } \mathbf{P}_j : \vec{\mathbf{t}}_j = \frac{1}{2} (\mathbf{P}_{j+1} - \mathbf{P}_{j-1}), \quad j = 1, \dots, k - 1$$

Tangenten am Rand: \mathbf{P}_{-1} und \mathbf{P}_{k+2} zusätzlich vorgeben, z.B. $\mathbf{P}_{-1} = \mathbf{P}_0$

$$\text{Innere Kontrollpunkte: } \mathbf{C}_1^j - \mathbf{C}_0^j = \frac{1}{3} \vec{\mathbf{t}}_j \Rightarrow \mathbf{C}_1^j = \mathbf{C}_0^j + \frac{1}{3} \vec{\mathbf{t}}_j, \text{ analog } \mathbf{C}_2^j = \mathbf{C}_3^j - \frac{1}{3} \vec{\mathbf{t}}_{j+1}$$



3.3.1 Catmull-Rom-Ansatz



Tangente bei \mathbf{P}_j : $\vec{t}_j = \frac{1}{2} (\mathbf{P}_{j+1} - \mathbf{P}_{j-1})$

Interpolation der Endpunkte: $\mathbf{C}_0^j = \mathbf{P}_j, \mathbf{C}_3^j = \mathbf{P}_{j+1}$

Tangentialstetigkeit: $(\mathbf{C}_1^j - \mathbf{C}_0^j) = (\mathbf{C}_3^{j-1} - \mathbf{C}_2^{j-1}) = \frac{1}{3} \vec{t}_j$



Bewertung Bézier-Splines

Wesentliche Vorteile:

- Alle Vorteile der Bézier-Kurven
- Zusätzliche Freiheitsgrade bei konstantem Grad

Wesentliche Nachteile:

- Erfüllung expliziter Übergangsbedingungen **oder**
- verschiedenartige Kontrollparameter (Catmull-Rom)

Wünschenswert:

- „Eingebaute“ Übergangsbedingung
- maximale Stetigkeit bei minimalem Einfluß der Kontrollpunkte

3.4 B-Spline-Kurven



Ansatz: Quadratische B-Spline Kurven

Idee: Nutze innere Kontrollpunkte C^1 -stetiger quadratischer Bézier-Splines als Kontrollpunkte

Gegeben: „Innere Kontrollpunkte“ D_1, \dots, D_k

Konstruktion: Sequenz

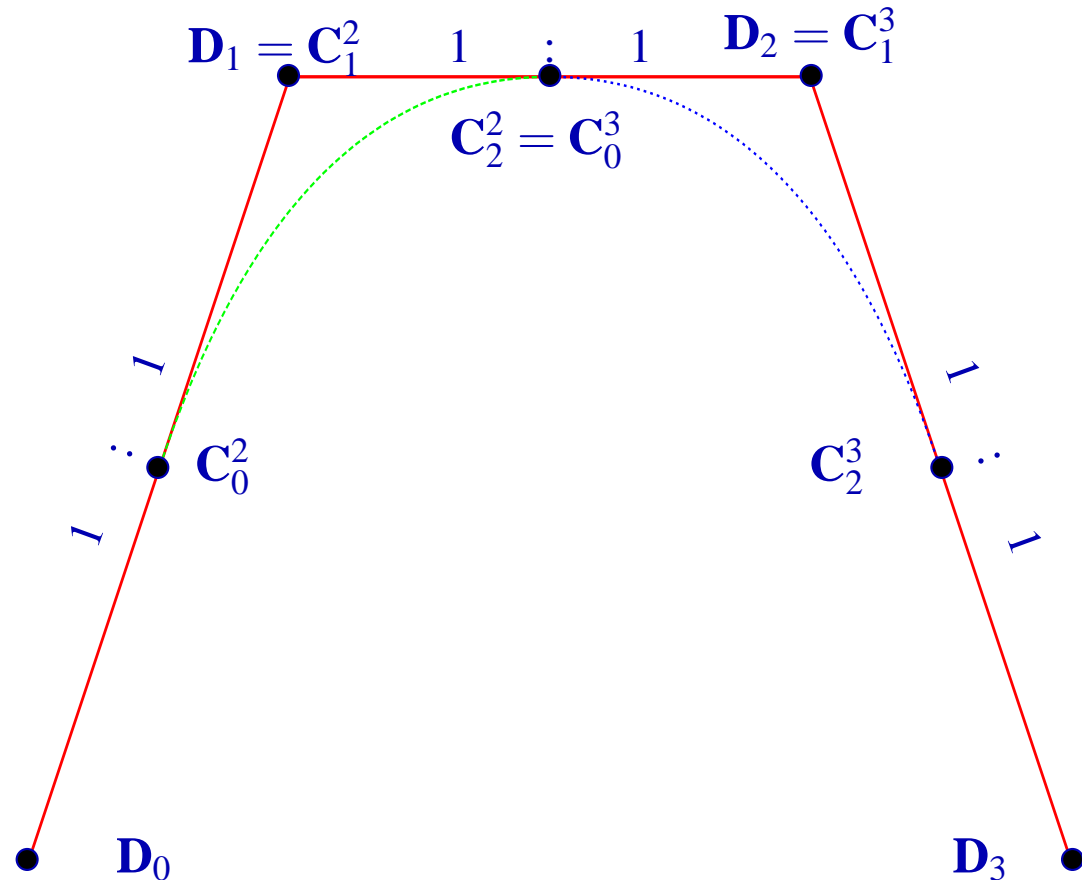
D_{j-2}, \dots, D_j definiert die quadratische Bézier-Kurve C^j :

$$C_0^j = \frac{1}{2}D_{j-2} + \frac{1}{2}D_{j-1},$$

$$C_1^j = D_{j-1}$$

$$C_2^j = \frac{1}{2}D_{j-1} + \frac{1}{2}D_j$$

Beachte: Automatisch C^1 -stetig



3.4 B-Spline-Kurven



Ansatz: Kubische B-Spline Kurven

Idee: Nutze A-Frame-Punkte C^2 -stetiger kubischer Bézier-Splines als Kontrollpunkte

Gegeben: A-Frame Punkte D_1, \dots, D_k

Konstruktion: Sequenz

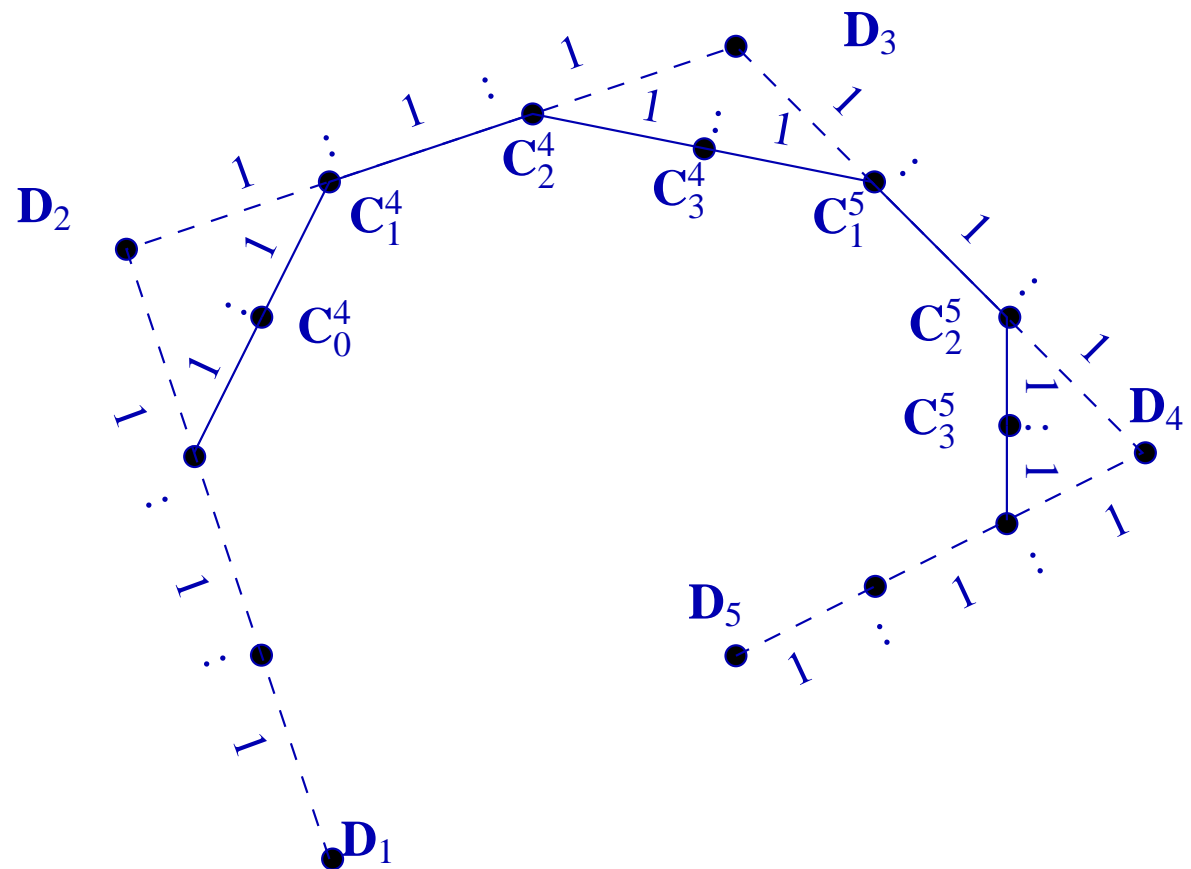
D_{j-3}, \dots, D_j definiert kubische Bézier-Kurve C^j :

$$C_1^j = \frac{2}{3}D_{j-2} + \frac{1}{3}D_{j-1}$$

$$C_2^j = \frac{1}{3}D_{j-2} + \frac{2}{3}D_{j-1}$$

$$C_0^j = \frac{1}{2}C_2^{j-1} + \frac{1}{2}C_1^j$$

$$C_3^j = \frac{1}{2}C_2^j + \frac{1}{2}C_1^{j+1}$$



3.4 B-Spline-Kurven



Bemerkung: Quadratische und kubische B-Splines

Obige Einführung ist sehr speziell, denn

- wie sehen B-Splines für beliebigen Grad n und beliebige Parameterintervalle aus?
- Auswertung ohne Umweg über die Bézier-Darstellung?

Basisfunktionen: Angenommen, obige B-Spline-Kurven haben die Darstellung

$$\mathbf{D}(u) = \sum_i \mathbf{D}_i N_i^n(u) \text{ für unbekannte Basisfunktionen } N_i^n, \quad n = 2, 3$$

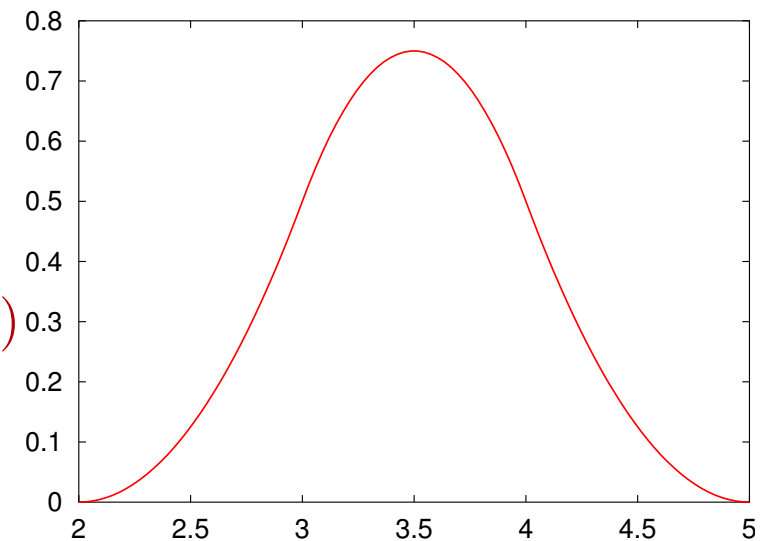
Für ein i_0 gewinnt man $N_{i_0}^n$ durch: $\mathbf{D}_i = 0, i \neq i_0$ und $\mathbf{D}_{i_0} = 1$.

Beispiel: Bestimmung von $N_2^2(u)$ als stückw. quadratisches Polynom (lok. Param. für $\mathbf{C}^j : u = u^* - j$):

$$u^* \in [2, 3[: N_2^2(u^*) = \mathbf{C}^2(u) = \frac{1}{2} B_2^2(u)$$

$$u^* \in [3, 4[: N_2^2(u^*) = \mathbf{C}^3(u) = \frac{1}{2} (B_0^2(u) + B_2^2(u)) + B_1^2(u)$$

$$u^* \in [4, 5[: N_2^2(u^*) = \mathbf{C}^4(u) = \frac{1}{2} B_0^2(u)$$



3.4 B-Spline-Kurven



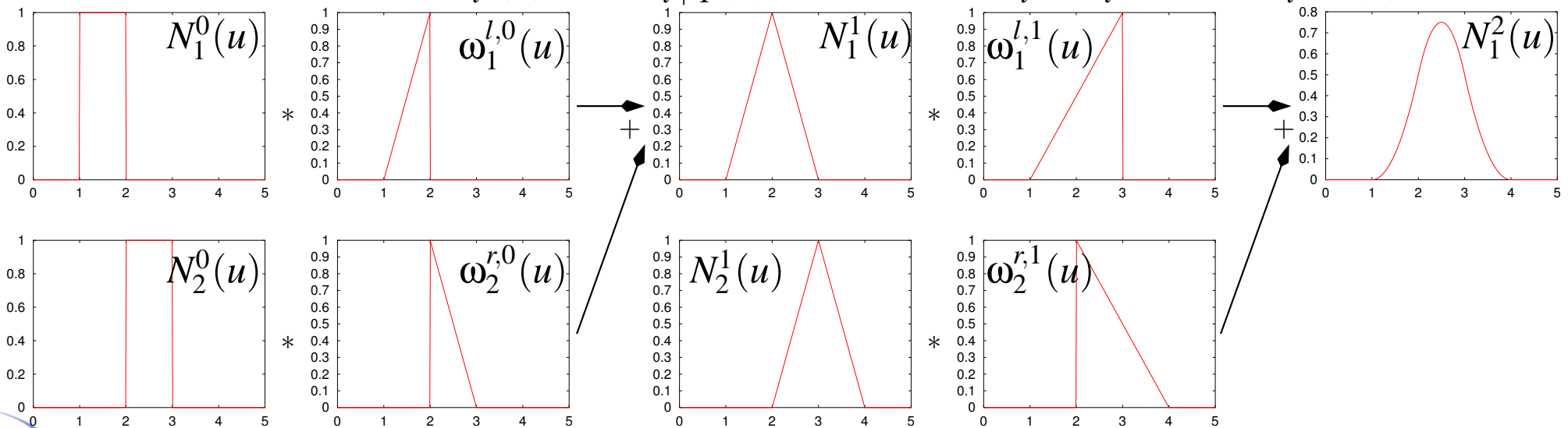
Ziel: Basisfunktion als stückweises Polynom $N_i^n(u)$ mit gegebenem Grad $n \in \mathbb{N}$, so dass

1. max. Stetigkeit zwischen den Teilkurven, also $(n - 1)$ -stetig
2. möglichst geringer Einflußbereich der Kontrollpunkte (**Lokalität**)
3. Erlegung der Eins: $\sum N_i^n(u) \equiv 1, N_i^n(u) \geq 0$ (\Rightarrow affine Invarianz, konvexe Hülle)

Knotenvektor: $T = \{\dots, t_{i-1}, t_i, t_{i+1}, \dots\}, t_i \leq t_{i+1}, t_i \in \mathbb{R}$ mit: $N_i^n \Big|_{[t_i, t_{i+1}[} \in \mathcal{P}^n$

Fall n=0: Offensichtlich sinnvolle Festlegung $N_i^0 = \chi([t_i, t_{i+1}[)$

Rekursion: Gewichtung von $N_i^n(u)$ und $N_{i+1}^n(u)$ mit linearen $\omega_i^{l,n}, \omega_i^{r,n}$ ergibt $N_i^{n+1}(u)$



3.4 B-Spline-Kurven



Definition: Normalisierte B-Spline-Basisfunktionen

Gegeben: Knotenvektor $T = \{\dots, t_{i-1}, t_i, t_{i+1}, \dots\}$, $t_i \leq t_{i+1}$, $t_i \in \mathbb{R}$

Fall $n = 0$: Setze $N_i^0 := \chi([t_i, t_{i+1}[)$

Rekursion $n \rightarrow n + 1$:

$$N_i^{n+1}(u) := \omega_i^{l,n}(u)N_i^n(u) + \omega_{i+1}^{r,n}(u)N_{i+1}^n(u), \quad \omega_i^{l,n}(u) = \frac{u - t_i}{t_{i+n+1} - t_i}, \quad \omega_{i+1}^{r,n}(u) = \frac{t_{i+n+1} - u}{t_{i+n+1} - t_i}$$

Bemerkung:

- $\omega_i^{l,n}, \omega_{i+1}^{r,n}$ steigt/fällt auf $\text{supp}(N_i^n)$ von 0 nach 1 an bzw. von 1 nach 0 ab
- N_i^n sind Zerlegung der Eins, da $N_i^n(u) \geq 0$ und per Induktion: $\sum N_i^0 \equiv 1$ und

$$\sum_i N_i^{n+1}(u) = \sum_i \left(\omega_i^{l,n}(u)N_i^n(u) + \omega_{i+1}^{r,n}(u)N_{i+1}^n(u) \right) = \sum_i \underbrace{\left(\omega_i^{l,n}(u) + \omega_{i+1}^{r,n}(u) \right)}_{=1} N_i^n(u) = 1$$

- Knotenvektor T heißt *uniform*, falls $t_i = i$

3.4 B-Spline-Kurven



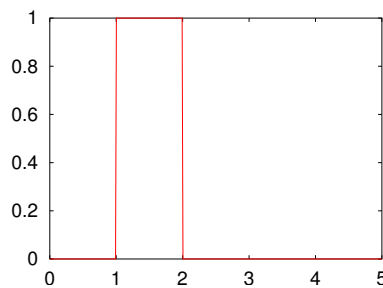
Beispiel: Normalisierte B-Spline-Basisfunktionen

Gegeben: Uniformer Knotenvektor

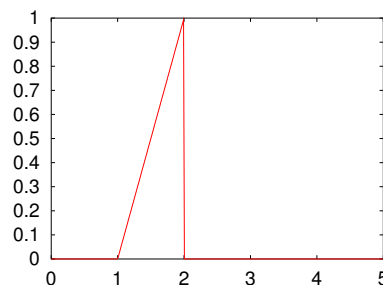
$$n = 0: N_i^0 = \chi_{[i, i+1[} = \begin{cases} 1 & \text{falls } u \in [i, i+1[\\ 0 & \text{falls } u \notin [i, i+1[\end{cases}$$

$n = 1$: Es ist $\omega_i^{l,0}(u) = u - i$, $\omega_i^{r,0}(u) = i + 1 - u$ und $N_i^1(u) = \omega_i^{l,0}(u) \cdot N_i^0(u) + \omega_{i+1}^{r,0}(u) \cdot N_{i+1}^0(u)$

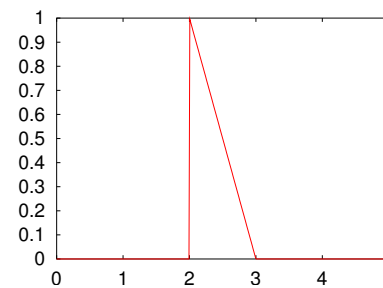
$$N_i^1(u) = (u - i) \cdot \chi_{[i, i+1[} + (i + 2 - u) \cdot \chi_{[i+1, i+2[} = \begin{cases} u - i & \text{falls } u \in [i, i+1[\\ i + 2 - u & \text{falls } u \in [i+1, i+2[\\ 0 & \text{sonst} \end{cases}$$



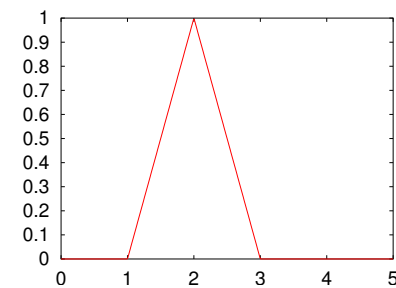
N_1^0



$\omega_1^{l,0} \cdot N_1^0$



$\omega_2^{r,0} \cdot N_2^0$



N_1^1

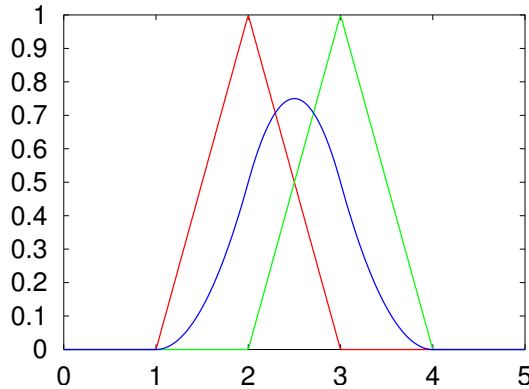


3.4 B-Spline-Kurven

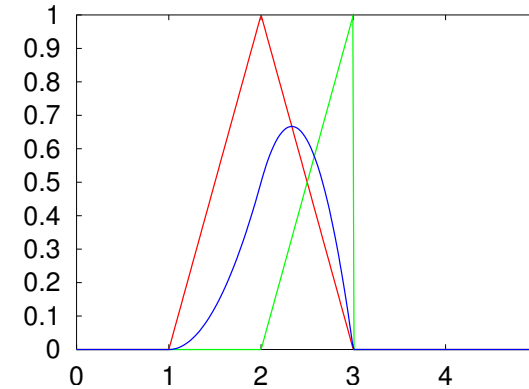


Einfluß der Knoten t_i

1. ein k -facher Knoten $t_{i-1} < t_i = t_{i+1} = \dots = t_{i+k-1} < t_{i+k}$ reduziert die Stetigkeit um k



Uniformer Knotenvektor mit N_1^1, N_2^1, N_1^2

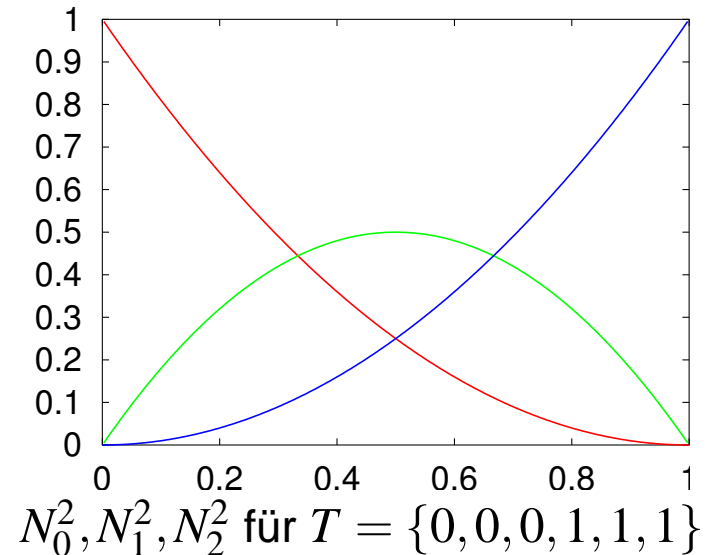


Knotenvektor $\{1, 2, 3, 3, 4\}$ mit N_1^1, N_2^1, N_1^2

2. $T = \{ \underbrace{0, \dots, 0}_{(n+1)\text{-fach}}, \underbrace{1, \dots, 1}_{(n+1)\text{-fach}} \}$ liefert:

$$N_i^n = B_i^n, \forall i = 0, \dots, n$$

3. $N_0^n, \dots, N_m^n, m > n$ bilden auf $[t_n, t_{m+1}]$ eine Basis der stückweisen Polynome vom Grad n mit der durch T gegebenen Stetigkeit



B-Spline-Kurven

Eine *B-Spline-Kurve* ist eine Affin-Kombination von *de Boor-Punkten* \mathbf{D}_i mit Gewichten N_i^n zu gegebenem Knotenvektor $T = \{t_0, \dots, t_{n+m+1}\}$

$$\mathbf{D}(u) := \sum_{i=0}^m \mathbf{D}_i N_i^n(u), \quad u \in [t_n, t_{m+1}]$$

Eigenschaften von B-Spline Kurven

Polynomiell: \mathbf{D} ist eine **stückweise Polynomkurve vom Grad n** mit C^{n-1} -Übergängen bei disjunkten Knoten bzw. C^{n-k} bei k -fachem Knoten

Lokalität: \mathbf{D}_i beeinflusst Kurve nur lokal, da

$$\text{supp}(N_i^n) = \{u : N_i^n(u) \neq 0\} =]t_i, t_{i+n+1}[\quad (\text{lokaler Träger})$$

Affine Invarianz und konvexe Hülle da $\sum_{i=0}^m N_i^n = 1$ und $N_i^n \geq 0$ auf $[t_n, t_{m+1}]$

Lokale konvexe Hülle: $\mathbf{D}|_{[t_i, t_{i+1}[}$ verläuft in Hülle der $\mathbf{D}_{i-n}, \dots, \mathbf{D}_i$

Algorithmus: de Boor

Gegeben: de Boor Punkte $\mathbf{D}_0, \dots, \mathbf{D}_m$ und der Parameter $u \in [t_n, t_{m+1}]$ (beliebig, aber fest)

Gesucht: Kurvenpunkt $\mathbf{D}(u)$ direkt aus den \mathbf{D}_i ohne Berechnung der N_i^n :

Relevante de Boor-Punkte: Für $u \in [t_r, t_{r+1}[$ sind alle \mathbf{D}_i mit $N_i^n(u) \neq 0$ notwendig:

$$\mathbf{D}_i^0 = \mathbf{D}_i, \quad i = r - n, \dots, r$$

Rekursion: Affin-Kombinationen benachbarter Kontrollpunkte:

$$\mathbf{D}_i^j = (1 - \alpha_i^j(u))\mathbf{D}_{i-1}^{j-1} + \alpha_i^j(u)\mathbf{D}_i^{j-1}, \quad i = r - n + j, \dots, r, \quad j = 1, \dots, n$$

mit Gewichten:

$$\alpha_i^j(u) = \frac{u - t_i}{t_{i+n+1-j} - t_i}, \quad i = r - n + j, \dots, r, \quad j = 1, \dots, n$$

Ergebnis: $\mathbf{D}(u) = \mathbf{D}_r^n$

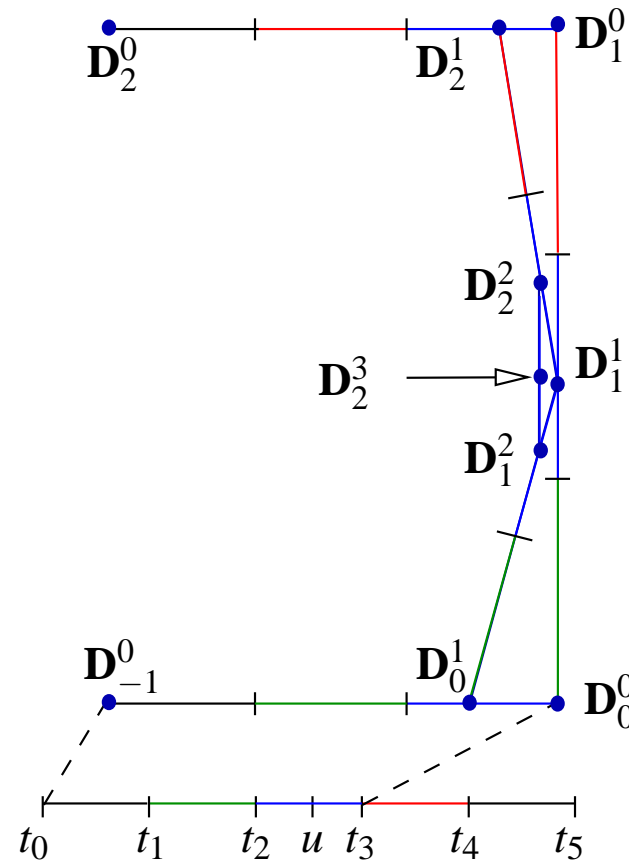
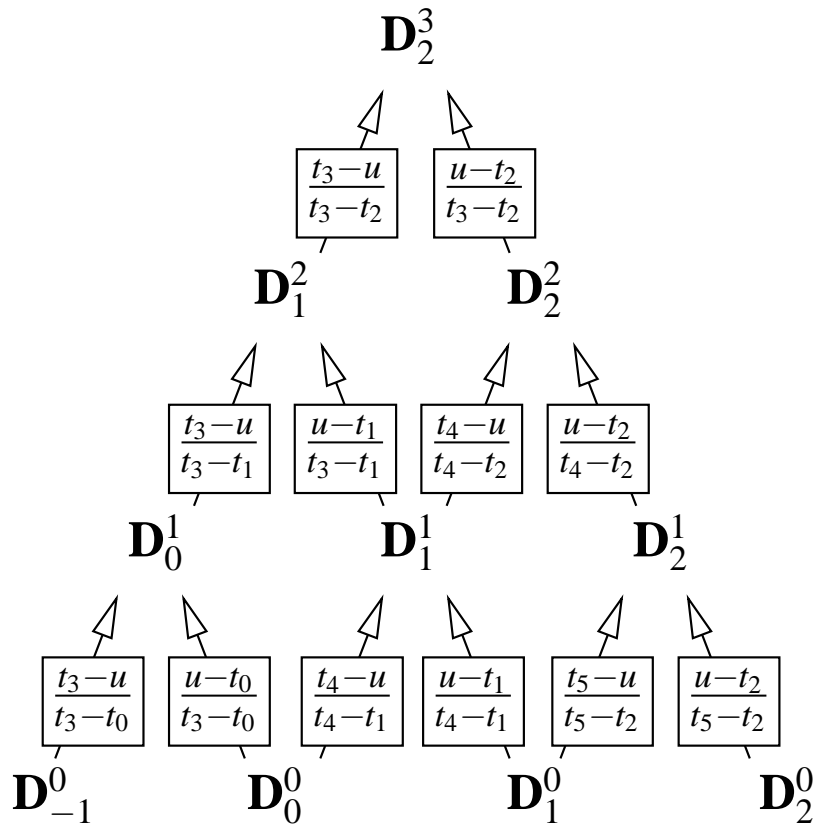
3.4 B-Spline-Kurven



de Boor: Geometrische Interpretation

Gegeben: de Boor-Punkte $\mathbf{D}_0, \dots, \mathbf{D}_m$ und $u \in [t_r, t_{r+1}[$

Geometrische Lösung: Hier mit $n = 3$ und $r = 2$



3.4 B-Spline-Kurven

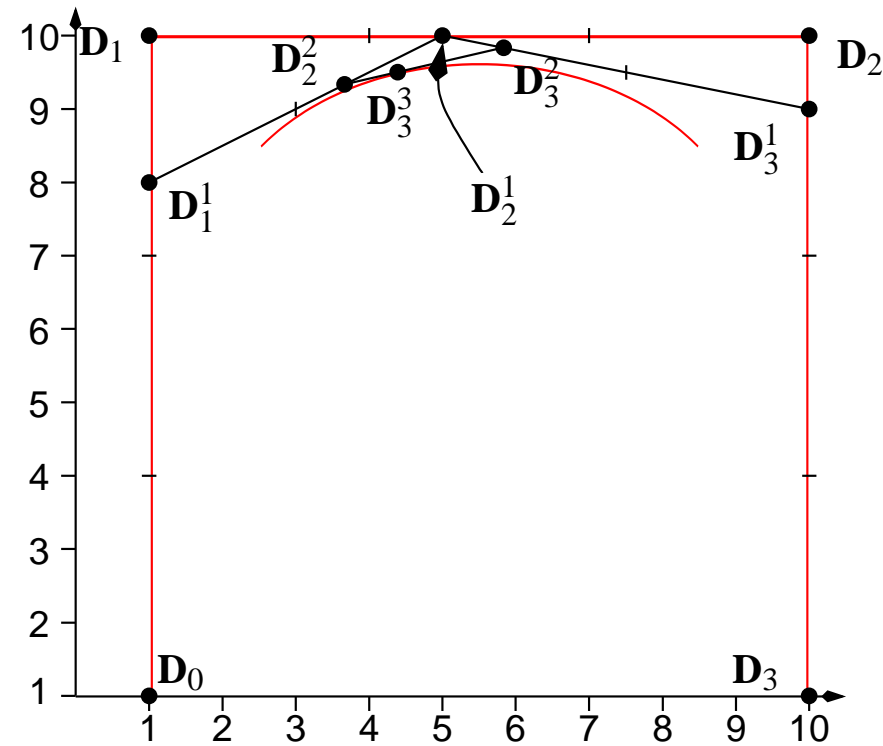
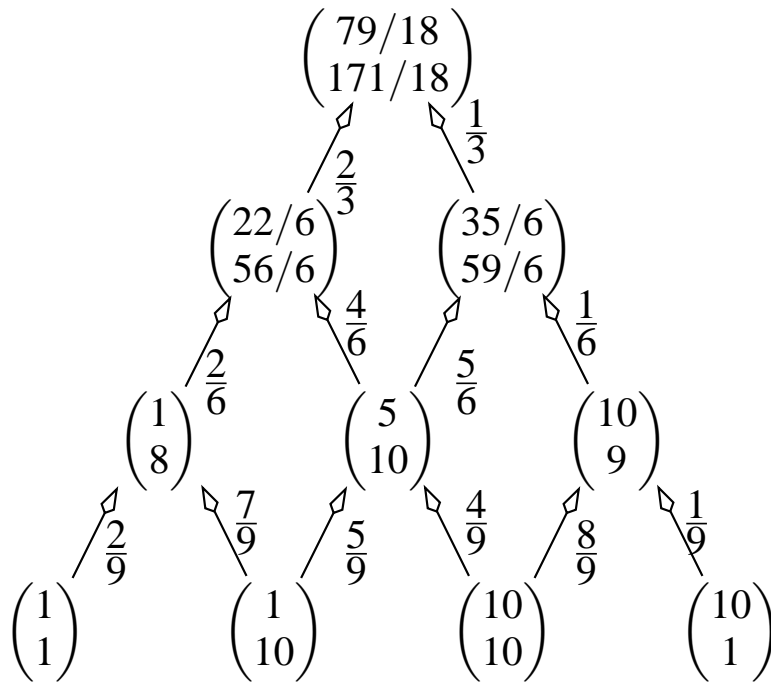


Beispiel: de Boor Algorithmus (uniformer, kubischer Fall)

Gegeben: $D_0 = (1, 1)$, $D_1 = (1, 10)$, $D_2 = (10, 10)$, $D_3 = (10, 1)$, $u = 10/3$, $r = 3$

Gewichte: Ermittlung der Gewichte $\alpha_i^j = \alpha_i^j(10/3) = \frac{u-i}{4-j}$:

$$\alpha_1^1 = 7/9, \quad \alpha_2^1 = 4/9, \quad \alpha_3^1 = 1/9, \quad \alpha_2^2 = 4/6, \quad \alpha_3^2 = 1/6, \quad \alpha_3^3 = 1/3$$



3.4 B-Spline-Kurven



Ableitung von B-Spline-Kurven

Beachte: Ableitung eines stückw. Polynoms n -ten Grades ist stückw. Polynom vom Grad $n - 1$

Darstellung als B-Spline-Kurve: Mit Knotenvektor $T = \{t_0 \leq t_1 \leq \dots \leq t_{m+n+1}\}$ gilt

$$\mathbf{D}(u) = \sum_{i=0}^m \mathbf{D}_i N_i^n(u) \implies \mathbf{D}'(u) = n \sum_{i=0}^m \frac{\mathbf{D}_i - \mathbf{D}_{i-1}}{t_{i+n} - t_i} N_i^{n-1}(u)$$

Knoteneinfügen (nach Böhm '80)

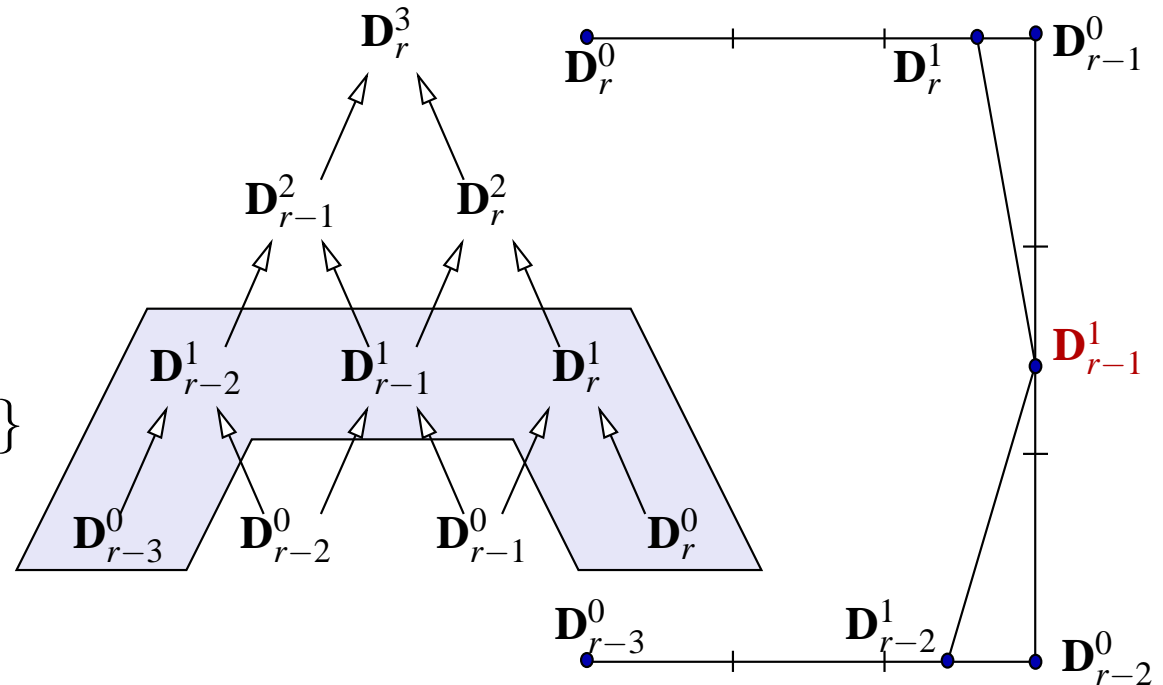
Beachte: Ein stückw. Polynom über

$$T = \{t_0, t_1, \dots, t_{m+n+1}\}$$

ist auch stückw. Polynom über

$$T^* = \{t_0, \dots, t_r, t^*, t_{r+1}, \dots, t_{m+n+1}\}$$

Kontrollpunkte berechnen sich über
de Boor-Algorithmus für $u = t^*$



3.5 Tensor-Produkt Flächen



Idee: Tensor-Produkt Flächen

Ausgangslage: Kurvenschema $\mathbf{K}(u) = \sum_{i=0}^n \mathbf{P}_i F_i(u)$

Variation der Kontrollpunkte \mathbf{P}_i entlang anderer Kurve

$$\mathbf{P}_i = \mathbf{P}_i(v) = \sum_{j=0}^m \mathbf{P}_{ij} F_j(v)$$

TP-Bézier-Flächen: I.a. werden Polynomkurven desselben Grades verwendet:

$$\mathbf{C}(u, v) = \sum_{i=0}^n \sum_{j=0}^n \mathbf{C}_{ij} B_i^n(u) B_j^n(v)$$

TP-B-Spline-Flächen haben i.a. unterschiedlich viele Segmente in u - und v -Richtung:

$$\mathbf{D}(u, v) = \sum_{i=0}^{m_u} \sum_{j=0}^{m_v} \mathbf{D}_{ij} N_i^n(u) N_j^n(v)$$



3.5 Tensor-Produkt Flächen



Eigenschaften von TP-Bézier-Flächen

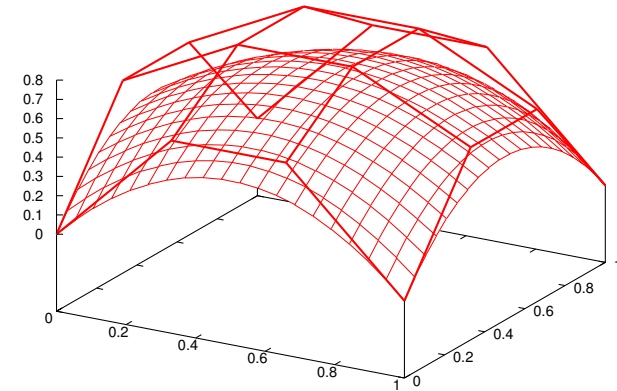
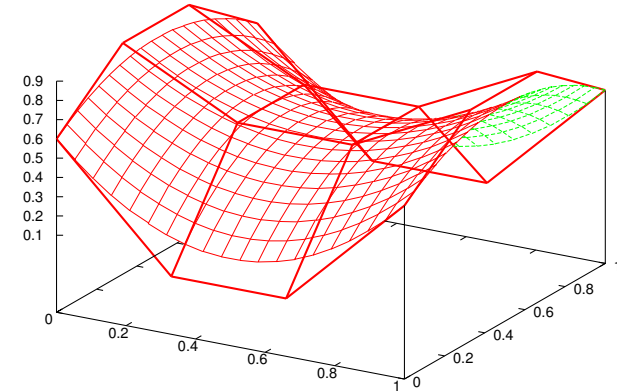
Interpolation der Ecken: $\mathbf{C}(0,0) = \mathbf{C}_{00}, \mathbf{C}(1,0) = \mathbf{C}_{n0}, \dots$

Ableitung:

$$\begin{aligned} \frac{\partial \mathbf{C}}{\partial u}(u,v) &= \frac{\partial}{\partial u} \left(\sum_{i=0}^n \left(\sum_{j=0}^n \mathbf{C}_{i,j} B_j^n(v) \right) B_i^n(u) \right) \\ &= n \sum_{(i,j)=(0,0)}^{(n-1,n)} (\mathbf{C}_{i+1,j} - \mathbf{C}_{i,j}) B_i^{n-1}(u) B_j^n(v) \end{aligned}$$

$$\frac{\partial \mathbf{C}}{\partial u}(0,v) = n \sum_{j=0}^n (\mathbf{C}_{1,j} - \mathbf{C}_{0,j}) B_j^n(v)$$

$$\frac{\partial \mathbf{C}}{\partial u}(0,0) = n (\mathbf{C}_{1,0} - \mathbf{C}_{0,0})$$



Globaler Einfluß der \mathbf{C}_{ij} : Wie im Kurvenfall, da $B_i^n(u) \cdot B_j^n(v) \neq 0$ auf $(u,v) \in]0,1[^2$

Affine Invarianz und konvexe Hülle gelten, da $\sum_{(i,j)} B_i^n(u) B_j^n(v) = (\sum_i B_i^n(u)) (\sum_j B_j^n(v)) = 1$



3.5 Tensor-Produkt Flächen

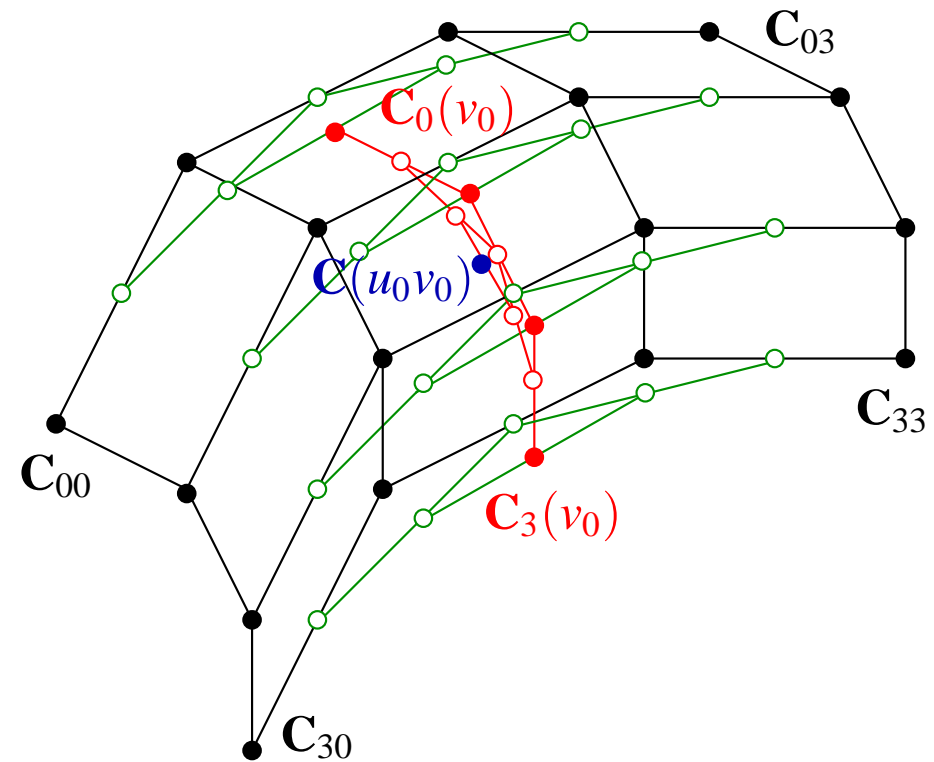


Auswertung von Bézier-Flächen

Zweistufiger de Casteljau: Separate Auswertung für den Parameter (u_0, v_0) :

1. $\forall i = 0, \dots, n : \mathbf{C}_i(v_0) = \sum_{j=0}^n \mathbf{C}_{ij} B_j^n(v_0)$
2. $\mathbf{C}(u_0, v_0) = \sum_{i=0}^n \mathbf{C}_i(v_0) B_i^n(u_0)$

Beachte: Die Rolle von u und v kann vertauscht werden



3.5 Tensor-Produkt Flächen

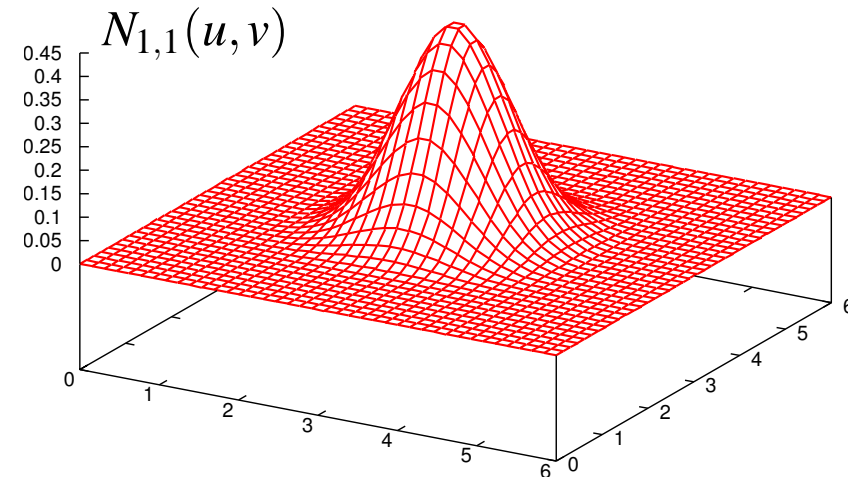
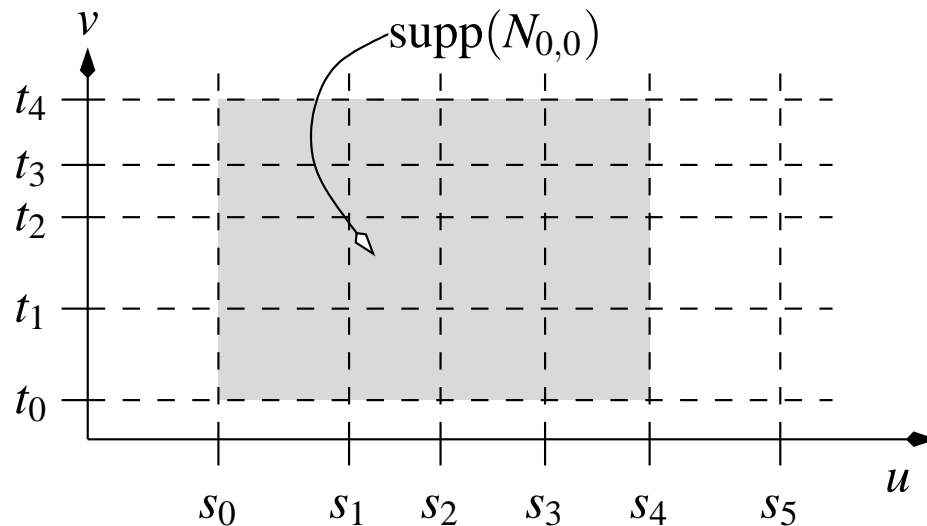


Eigenschaften von TP-B-Spline-Flächen

Knotenvektoren $S = \{s_0, s_1, \dots, s_{m_u+n+1}\}$, $T = \{t_0, t_1, \dots, t_{m_v+n+1}\}$ in u - bzw. v -Richtung

Lokaler Einfluß der D_{ij} : D_{ij} beeinflusst $\mathbf{D}([s_i, s_{i+n+1}] \times [t_j, t_{j+n+1}])$, da

$$N_{ij}(u, v) := N_i^n(u) \cdot N_j^n(v) = 0 \quad \forall (u, v) \notin [s_i, s_{i+n+1}] \times [t_j, t_{j+n+1}]$$



Affine Invarianz und konvexe Hülle: gelten genauso, da $\sum_{(i,j)} N_i^n(u)N_j^n(v) = 1$ auf

$$[s_n, s_{n+m_u+1}] \times [t_n, t_{n+m_v+1}]$$



3.5 Tensor-Produkt Flächen

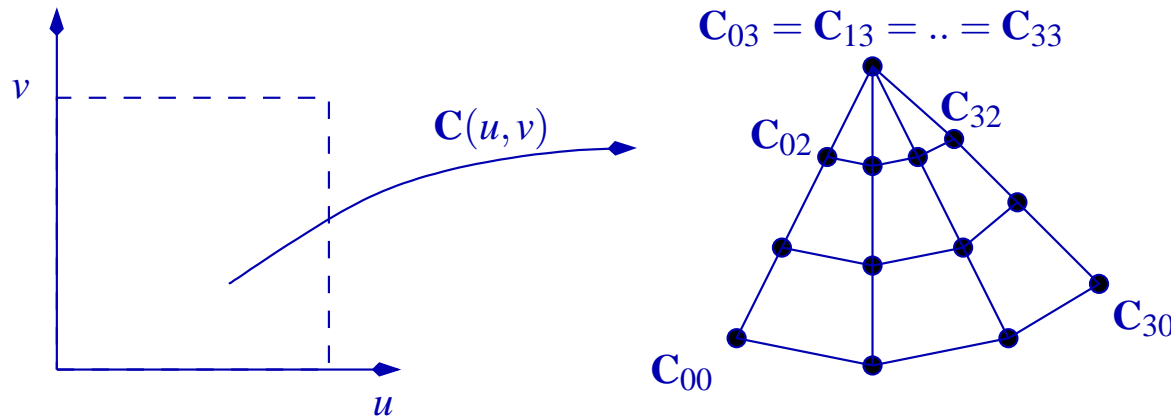


TP-Bézier-Splineflächen

Probleme: 1. Objekte i.a nicht mit einem Flächenstück (Bézier- oder B-Spline) modellierbar.

2. dreiecksförmige Flächen nur mit *Singularitäten* (zusammenfallen Kontrollpunkte)

Verschwindende Ableitung \Rightarrow numerisch sehr problematisch!



Ansatz: Verwende mehrere Flächenstücke

Teilaufgaben beim Zusammenfügen von Splineflächen:

1. Kante-Kante Anschluß
2. Konfiguration um eine Ecke



3.5 Tensor-Produkt Flächen



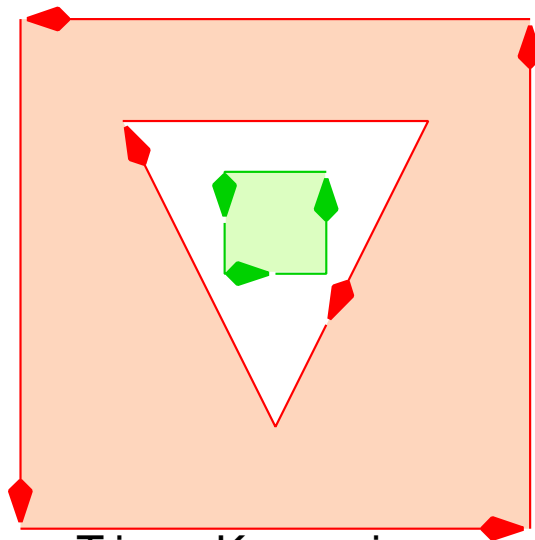
Getrimmte Splineflächen

Aufgabe: Beschreibung speziell geformte Flächen, z.B. mit Löchern

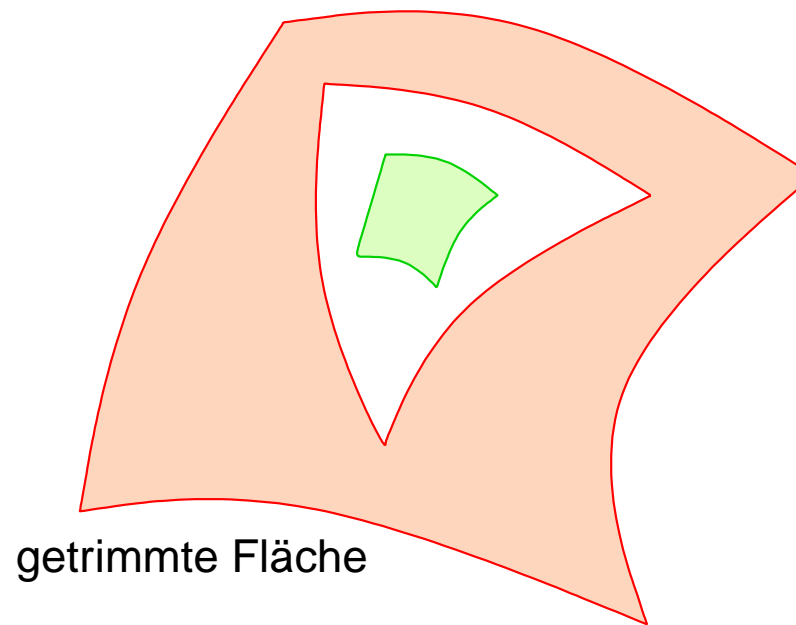
Ansatz: Verwende nicht das gesamte Parametergebiet, z.B. $[0, 1]^2$ sondern nur Teilbereiche.

Festlegung der Teilbereiche: Durch geschlossene Kurven im Parametergebiet, wobei

1. pos. orientierte Kurven definieren Innenbereich
2. neg. orientierte Kurven definieren Aussenbereich



Trimm-Kurven im
Parametergebiet



getrimmte Fläche

3.6 Differentialgeometrie für Kurven



Bislang: Zusammengesetzte Kurven über C^k -Stetigkeit erklärt

Mehrdeutigkeit: Geometrische Form (Kurve) durch verschiedene Funktionen darstellbar:

Für $\mathbf{C}(u), u \in [a, b]$ und bijektives $g : [c, d] \rightarrow [a, b]$ erzeugt

$$\mathbf{D}(u) := \mathbf{C}(g(u)), u \in [c, d]$$

dieselbe Geometrie, aber Ableitungen stimmen nicht überein:

$$\text{Kettenregel: } \mathbf{D}'(u) = \mathbf{C}'(g(u)) \cdot g'(u) \neq \mathbf{C}'(g(u)) \text{ falls } g'(u) \neq 1$$

Geometrische Stetigkeit: Kurven \mathbf{C} und \mathbf{D} sind in $\mathbf{D}(u_0)$ G^k -stetig, falls:

$$\exists g \in C^k \text{ bijektiv, } : \mathbf{D}^{(i)}(u_0) = \frac{d^i}{d u^i} \mathbf{C}(g(u_0)), i = 0, \dots, k$$

Konkret:

$$G^1\text{-Stetigkeit: } \mathbf{D}'(u_0) = \mathbf{C}'(g(u_0)) \cdot \gamma_1, \gamma_1 > 0$$

$$G^2\text{-Stetigkeit: } \mathbf{D}''(u_0) = \mathbf{C}''(g(u_0)) \cdot (\gamma_1)^2 + \mathbf{C}'(g(u_0)) \cdot \gamma_2, \gamma_2 > 0$$



3.6 Differentialgeometrie für Kurven



Definition: Geometrische Größen einer Kurve

Aufgabe: Definition eines lokales Koordinatensystems zu einer Raumkurve (Kamerafahrt).

Gegeben: Raumkurve $C : u \mapsto \mathbb{R}^3$, C^2 -stetig mit $C'(u), C''(u) \neq \vec{0}$ und $C'(u) \not\parallel C''(u), \forall u$

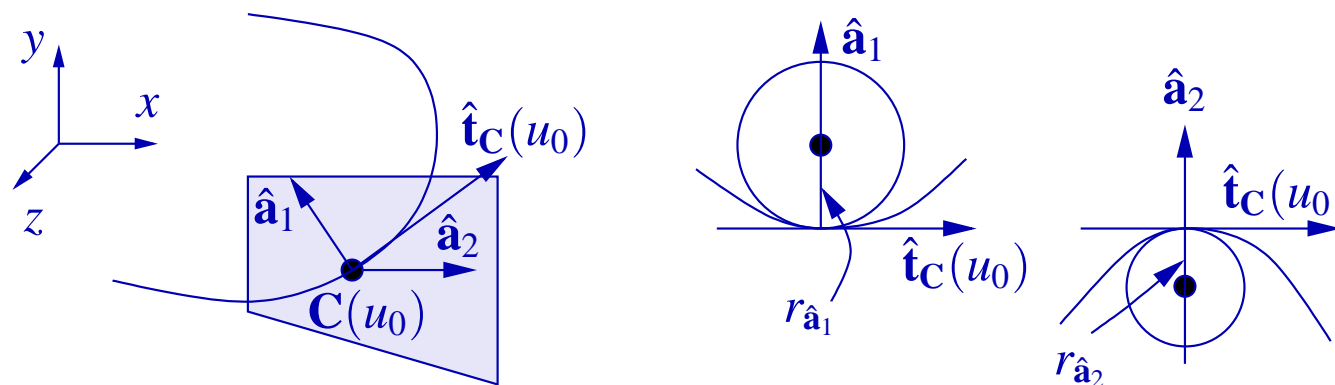
Geometrische Größen von C in u_0 :

Tangente $\hat{t}_C(u_0)$: Diese weist in Bewegungsrichtung: $\hat{t}_C(u_0) = C'(u_0) / \|C'(u_0)\|$

Krümmung $\kappa_C(u_0)$: Krümmung wird zunächst in einer Ebene

$\text{span}\{\hat{t}_C(u_0), \hat{a}\}$ mit beliebigem $\hat{a} \perp \hat{t}_C(u_0)$

definiert als: $\kappa_{C,\hat{a}}(u_0) = \frac{1}{r_{\hat{a}}}$, $r_{\hat{a}}$ Radius des bestangepaßten Kreises



Geometrische Größen einer Kurve (Fortsetzung)

Geometrische Größen von C in u_0 :

Normale $\hat{\mathbf{n}}_C(u_0)$: Entspricht $\hat{\mathbf{a}}$ mit max. Krümmung

$$\kappa_{C,\hat{\mathbf{a}}}(u_0)$$

Es zeigt sich, dass $\hat{\mathbf{n}}_C(u_0) \in \text{span}\{\mathbf{C}'(u_0), \mathbf{C}''(u_0)\}$.

Krümmung: $\kappa_C(u_0) = \kappa_{C,\hat{\mathbf{n}}_C(u_0)}(u_0)$

Binormale $\hat{\mathbf{b}}_C(u_0)$: Dritter Vektor senkrecht zur Tangente und Normale:

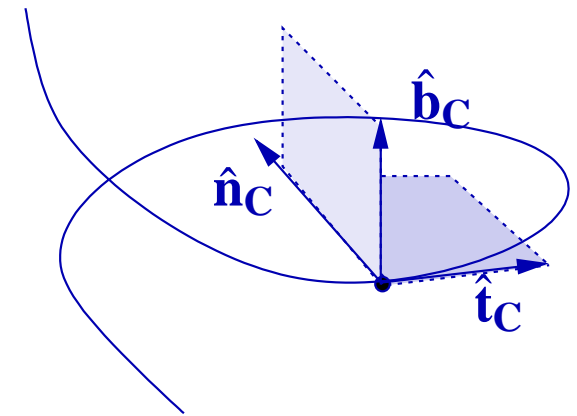
$$\hat{\mathbf{b}}_C(u_0) := \hat{\mathbf{t}}_C(u_0) \times \hat{\mathbf{n}}_C(u_0)$$

Frenet'sche Dreibein: Das Koordinatensystem $\{\hat{\mathbf{t}}_C(u_0), \hat{\mathbf{n}}_C(u_0), \hat{\mathbf{b}}_C(u_0)\}$ im Punkt $C(u_0)$.

Krümmungsvektor: $\kappa_C(u_0) \cdot \hat{\mathbf{n}}_C(u_0)$

Schmiegeebene: $\text{span}\{\hat{\mathbf{t}}_C(u_0), \hat{\mathbf{n}}_C(u_0)\}$, lokal bestandgepaßte Ebene

Normalenebene: Ebene senkrecht zum Kurvenverlauf, also $\text{span}\{\hat{\mathbf{n}}_C(u_0), \hat{\mathbf{b}}_C(u_0)\}$



3.6 Differentialgeometrie für Kurven



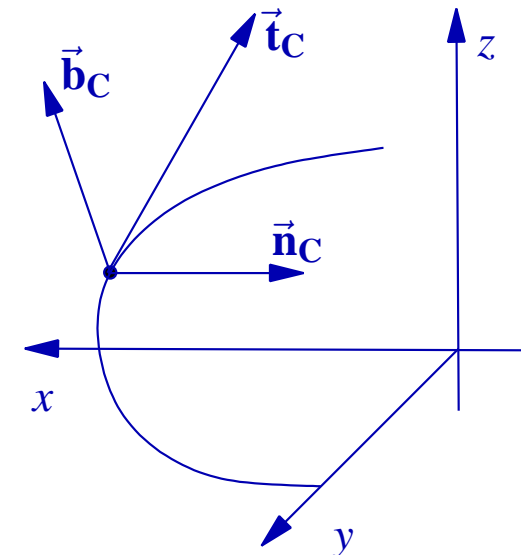
$$\text{Spirale: } \mathbf{C}(u) = \begin{pmatrix} \sin u \\ \cos u \\ u \end{pmatrix}; \quad \text{Ableitungen: } \mathbf{C}'(u) = \begin{pmatrix} \cos u \\ -\sin u \\ 1 \end{pmatrix}; \quad \mathbf{C}''(u) = \begin{pmatrix} -\sin u \\ -\cos u \\ 0 \end{pmatrix}$$

$$\text{Mit } \|\mathbf{C}'(u)\| = \sqrt{2} \text{ und } \mathbf{C}'(u) \times \mathbf{C}''(u) = \begin{pmatrix} \cos u \\ -\sin u \\ -1 \end{pmatrix} \text{ folgt: } \hat{\mathbf{t}}_{\mathbf{C}}(u) = \frac{1}{\sqrt{2}} \begin{pmatrix} \cos u \\ -\sin u \\ 1 \end{pmatrix}$$

$$\hat{\mathbf{b}}_{\mathbf{C}}(u) = \frac{\mathbf{C}'(u) \times \mathbf{C}''(u)}{\|\mathbf{C}'(u) \times \mathbf{C}''(u)\|} = \frac{1}{\sqrt{2}} \begin{pmatrix} \cos u \\ -\sin u \\ -1 \end{pmatrix}, \quad \hat{\mathbf{n}}_{\mathbf{C}}(u) = \hat{\mathbf{b}}_{\mathbf{C}}(u) \times \hat{\mathbf{t}}_{\mathbf{C}}(u) = \begin{pmatrix} -\sin u \\ -\cos u \\ 0 \end{pmatrix}$$

$$\text{Für } u = \frac{\pi}{2} : \hat{\mathbf{t}}_{\mathbf{C}}\left(\frac{\pi}{2}\right) = \frac{1}{\sqrt{2}} \begin{pmatrix} 0 \\ -1 \\ 1 \end{pmatrix}$$

$$\hat{\mathbf{n}}_{\mathbf{C}}\left(\frac{\pi}{2}\right) = \begin{pmatrix} -1 \\ 0 \\ 0 \end{pmatrix}; \quad \hat{\mathbf{b}}_{\mathbf{C}}\left(\frac{\pi}{2}\right) = \frac{1}{\sqrt{2}} \begin{pmatrix} 0 \\ -1 \\ -1 \end{pmatrix}$$



3.7 Interpolation mit B-Splines



Gegeben: Sequenz von Parametern $\{u_1, \dots, u_k\}$ und zugehörige Punkte $\mathbf{P}_i \in \mathbb{R}^3, i = 1, \dots, k$.

Gesucht: *Interpolationskurve:* $\mathbf{C}(u)$ mit $\mathbf{C}(u_i) = \mathbf{P}_i, i = 1, \dots, k$.

Lösungsansätze: Folgende Kurven-Schemata sind denkbar

1. Catmull-Rom Splines (s.o.)
2. B-Splines

Ansatz: Interpolation an den Knoten mit kubischen uniformen B-Splines

Kurve: Kubische uniforme B-Spline-Kurve \mathbf{D} mit (also $t_i = i$):

$$\mathbf{D}(u) = \sum_{i=0}^m \mathbf{D}_i N_i^3(u), \quad u \in [3, m+1]$$

Anzahl Segmente: In $[3, m+1]$ gibt es $m-1$ Knoten i , d.h.

$$u_1 = 3, u_2 = 4, \dots, u_k = k+2 \stackrel{!}{=} m+1 \text{ also } u_i = i+2$$

$\implies m = k+1$, aber $m+1 = k+2$ Kontrollpunkte (unterbestimmtes System)

Frage: Wie müssen die \mathbf{D}_i gewählt werden, so dass $\mathbf{D}(u_i) = \mathbf{D}(i+2) = \mathbf{P}_i, i = 1, \dots, k$?

3.7 Interpolation mit B-Splines



Ansatz: Interpolation mit uniformen B-Splines (Forts.)

Erinnerung: Uniforme, kubische B-Splines $\mathbf{D}(u)$ sind stückweise C^2 -stetige Bézier-Kurven

Umrechnung: $\mathbf{D}(u) \rightarrow \mathbf{C}^j(u)$ für $u \in [j, j+1]$:

$$\begin{aligned}
 \mathbf{C}_1^j &= \frac{2}{3}\mathbf{D}_{j-2} + \frac{1}{3}\mathbf{D}_{j-1} \\
 \mathbf{C}_2^j &= \frac{1}{3}\mathbf{D}_{j-2} + \frac{2}{3}\mathbf{D}_{j-1} \\
 \mathbf{C}_0^j &= \frac{1}{2}\mathbf{C}_2^{j-1} + \frac{1}{2}\mathbf{C}_1^j \\
 &= \frac{1}{6}\mathbf{D}_{j-3} + \frac{2}{3}\mathbf{D}_{j-2} + \frac{1}{6}\mathbf{D}_{j-1} \\
 \mathbf{C}_3^j &= \frac{1}{2}\mathbf{C}_2^j + \frac{1}{2}\mathbf{C}_1^{j+1} \\
 &= \frac{1}{6}\mathbf{D}_{j-2} + \frac{2}{3}\mathbf{D}_{j-1} + \frac{1}{6}\mathbf{D}_j
 \end{aligned}$$

$$\underbrace{\begin{pmatrix} \frac{1}{6} & \frac{2}{3} & \frac{1}{6} & 0 & 0 & 0 & \dots & 0 \\ 0 & \frac{1}{6} & \frac{2}{3} & \frac{1}{6} & 0 & 0 & \dots & 0 \\ 0 & 0 & \frac{1}{6} & \frac{2}{3} & \frac{1}{6} & 0 & \dots & 0 \\ \vdots & \vdots & \ddots & \ddots & \ddots & \vdots & & \\ 0 & 0 & 0 & 0 & \frac{1}{6} & \frac{2}{3} & \frac{1}{6} & 0 \\ 0 & 0 & 0 & 0 & 0 & \frac{1}{6} & \frac{2}{3} & \frac{1}{6} \end{pmatrix}}_{\in \mathbb{R}^{k,k+2}} \begin{pmatrix} \mathbf{D}_0 \\ \vdots \\ \mathbf{D}_{k+1} \end{pmatrix} = \begin{pmatrix} \mathbf{P}_1 \\ \vdots \\ \mathbf{P}_k \end{pmatrix}$$

Bedingung: $\mathbf{P}_i = \mathbf{D}(u_i) = \mathbf{D}(i+2) = \mathbf{C}_0^{i+2} = \frac{1}{6}\mathbf{D}_{i-1} + \frac{2}{3}\mathbf{D}_i + \frac{1}{6}\mathbf{D}_{i+1}, i = 1, \dots, k$



3.7 Interpolation mit B-Splines



Gesucht: Kubische, uniforme B-Spline-Kurve \mathbf{D} mit:

$$\mathbf{D}(3) = \begin{pmatrix} -1 \\ 0 \end{pmatrix}, \mathbf{D}(4) = \begin{pmatrix} -1 \\ 1 \end{pmatrix}, \mathbf{D}(5) = \begin{pmatrix} 1 \\ 1 \end{pmatrix}, \mathbf{D}(6) = \begin{pmatrix} 1 \\ 0 \end{pmatrix}$$

Lösung: Gleichungssystem mit natürlichen Randbedingungen:

$$\begin{pmatrix} 1 & -2 & 1 & 0 & 0 & 0 \\ \frac{1}{6} & \frac{2}{3} & \frac{1}{6} & 0 & 0 & 0 \\ 0 & \frac{1}{6} & \frac{2}{3} & \frac{1}{6} & 0 & 0 \\ 0 & 0 & \frac{1}{6} & \frac{2}{3} & \frac{1}{6} & 0 \\ 0 & 0 & 0 & \frac{1}{6} & \frac{2}{3} & \frac{1}{6} \\ 0 & 0 & 0 & 1 & -2 & 1 \end{pmatrix} \begin{pmatrix} \mathbf{D}_0 \\ \mathbf{D}_1 \\ \mathbf{D}_2 \\ \mathbf{D}_3 \\ \mathbf{D}_4 \\ \mathbf{D}_5 \end{pmatrix} = \begin{pmatrix} (0,0) \\ (-1,0) \\ (-1,1) \\ (1,1) \\ (1,0) \\ (0,0) \end{pmatrix}$$

$$\Rightarrow \mathbf{D}_0 = \begin{pmatrix} -1/3 \\ -6/5 \end{pmatrix}, \mathbf{D}_1 = \begin{pmatrix} -1 \\ 0 \end{pmatrix}, \mathbf{D}_2 = \begin{pmatrix} -5/3 \\ 6/5 \end{pmatrix},$$

$$\mathbf{D}_3 = \begin{pmatrix} 5/3 \\ 6/5 \end{pmatrix}, \mathbf{D}_4 = \begin{pmatrix} 1 \\ 0 \end{pmatrix}, \mathbf{D}_5 = \begin{pmatrix} 1/3 \\ -6/5 \end{pmatrix}$$

